

# Robotica Probabilistica

## **Filtri Bayesiani**

Filtri discreti e Particle filters

# Filtri ad Istogrammi e Filtri Discreti

- Decompongono lo spazio in regioni e rappresentano il post cumulativo di ogni regione con un valore di probabilità
- Se applicati a spazio finito sono detti Filtri Discreti:  $X_t$  prende valori in un insieme finito (es. occupancy grid  $X_{ij}$  ha 2 valori)
- Filtro Discreto molto comune: forward pass di un HMM

# Filtro Discreto: Algoritmo

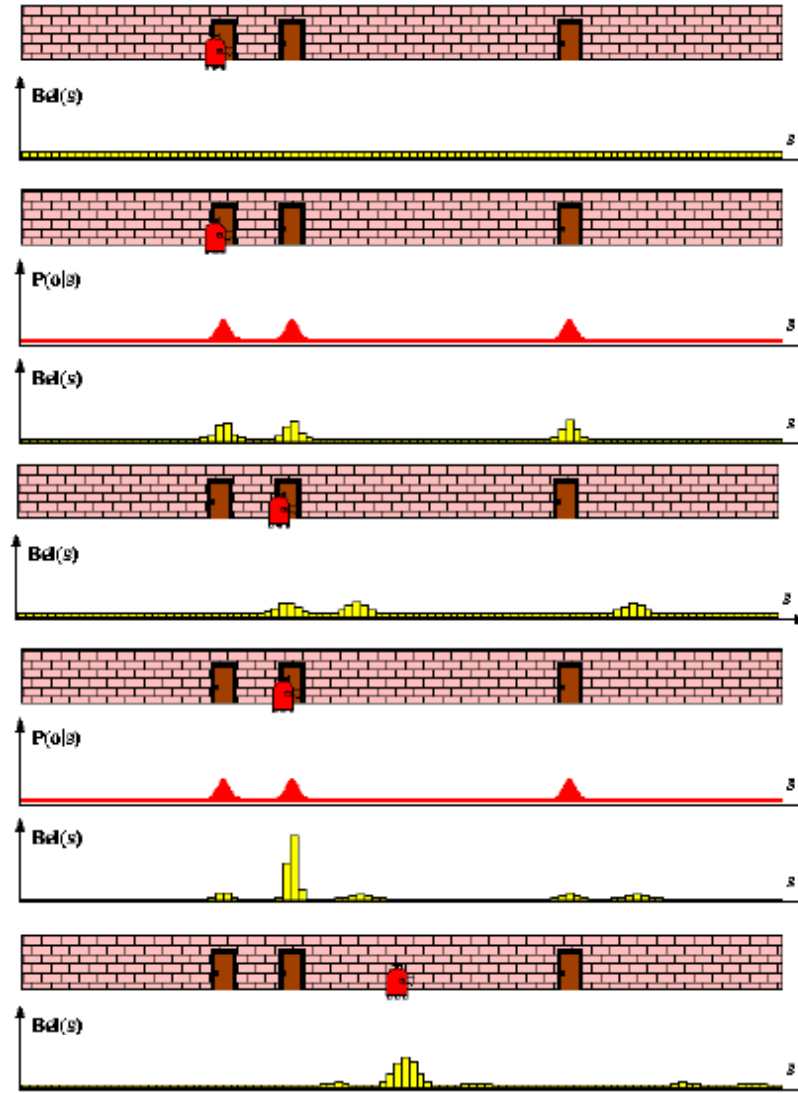
1. Algorithm **Discrete\_Bayes\_filter**(  $Bel(x), d$  ):
2.  $\eta = 0$
3. If  $d$  is a **perceptual** data item  $z$  then
4.     For all  $x$  do
5.          $Bel'(x) = P(z | x)Bel(x)$
6.          $\eta = \eta + Bel'(x)$
7.     For all  $x$  do
8.          $Bel'(x) = \eta^{-1}Bel'(x)$
9. Else if  $d$  is an **action** data item  $u$  then
10.     For all  $x$  do
11.          $Bel'(x) = \sum_{x'} P(x | u, x') Bel(x')$
12. Return  $Bel'(x)$

# Filtro ad Istogramma

- Se spazio continuo Filtri ad Istogramma ( $\mathbf{X}_t$  prende valori in spazio continuo)
- Spazio diviso in regioni finite e convesse (bins) che partizionano lo stato:  $\mathbf{X}_t = \mathbf{x}_{1,t} \mathbf{v} \dots \mathbf{v} \mathbf{x}_{n,t}$
- Per ogni regione è associata la probabilità  $\mathbf{p}_{k,t}$  quindi  $\mathbf{p}(\mathbf{x}_t) = \mathbf{p}_{k,t} / |\mathbf{x}_{k,t}|$

# Filtro ad Istogramma

Costante a tratti

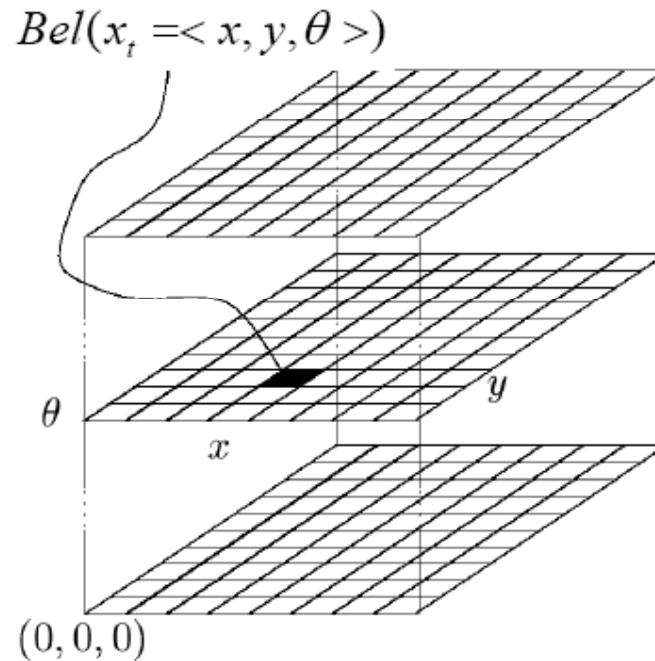


# Implementazione

**Statica:** partizione statica dello spazio

**Dinamica:** partizione dello spazio  
dipendente dal contesto

Rappresentazione  
costante:  
occupancy grid



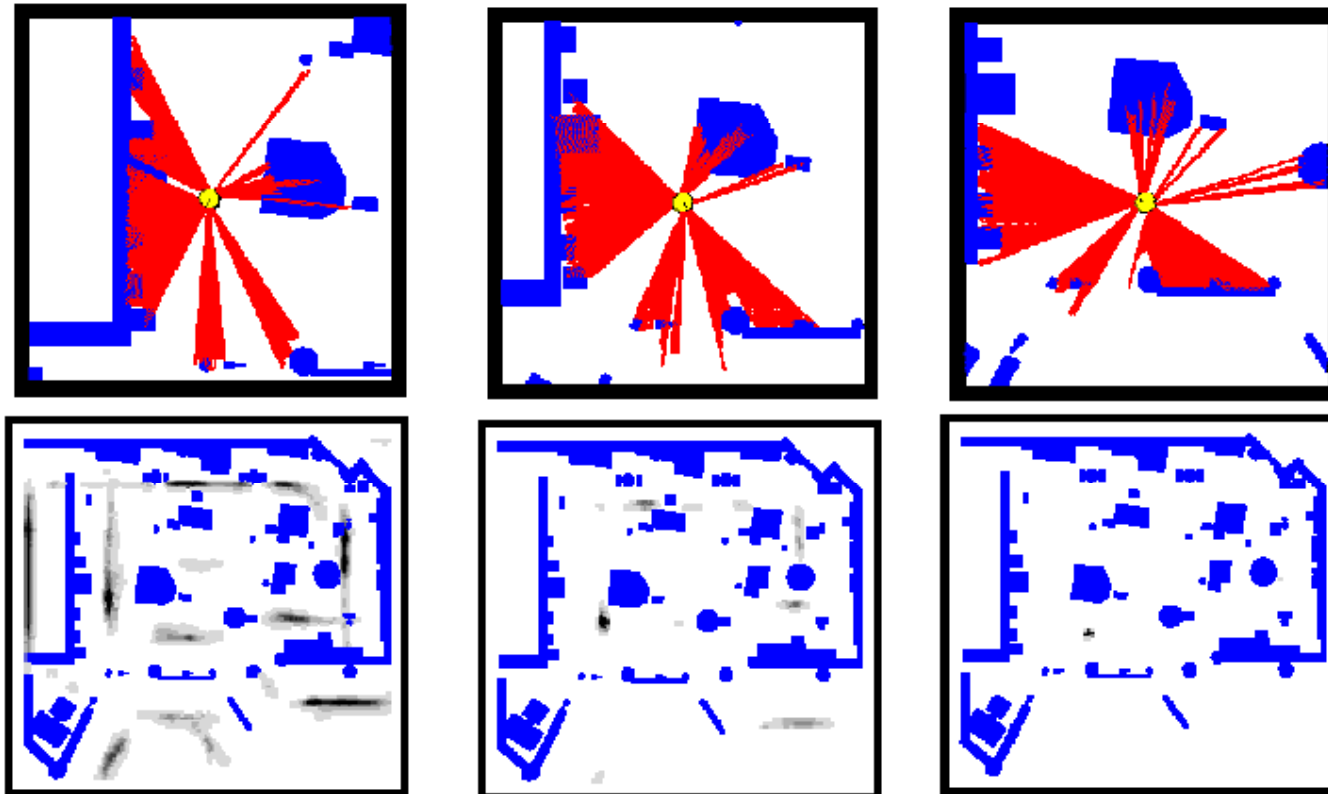
# Rappresentazione Statica

Utili quando lo stato è binario

Problemi:

- Per update e normalizzazione occorre lo scan di tutta la griglia
- Se le credenze sono concentrate si vorrebbe evitare
- Si può fare l'update della sottogriglia "attiva", ma non gestisce la delocalizzazione

# Localizzazione Grid-based



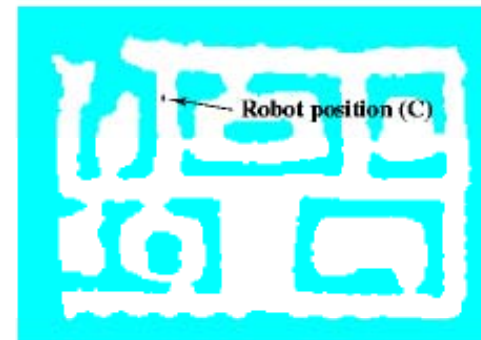
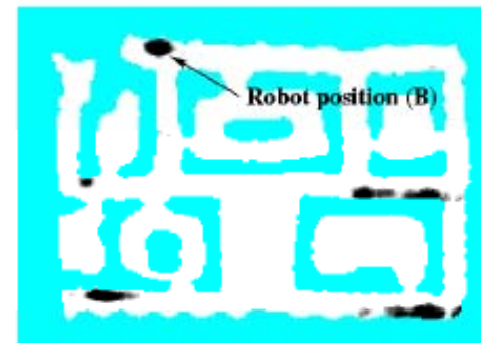
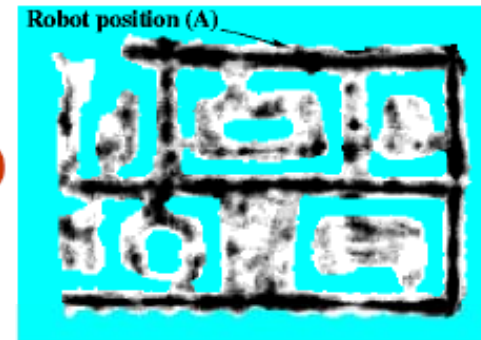
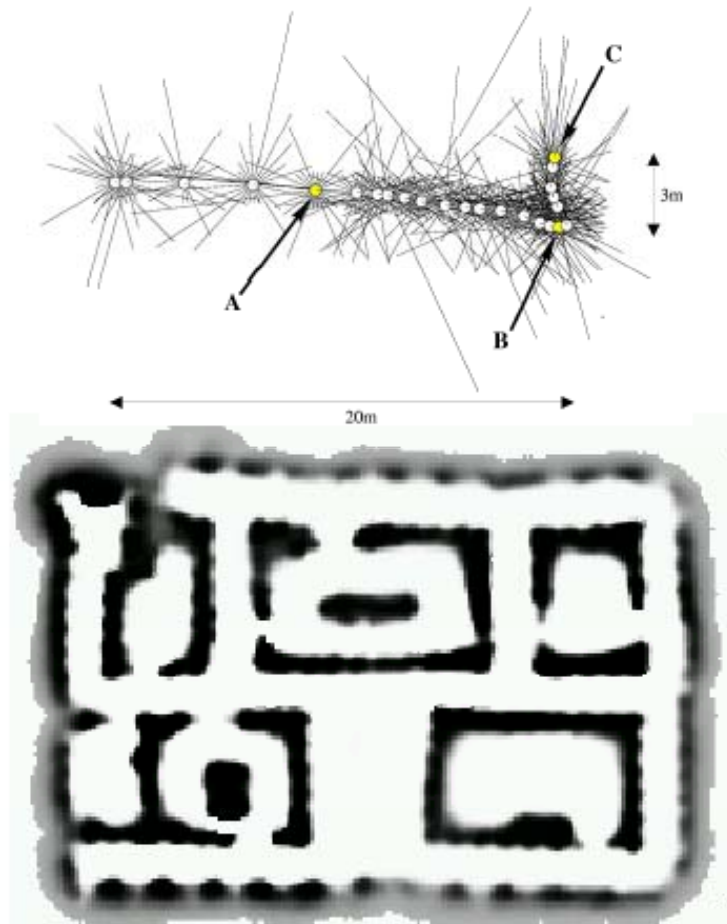
Gridmap risoluzione 15 cm, 15 g, 2LRF, beam model

Posizione dopo 3 scan



# Localizzazione Grid-based

## Sonars and Occupancy Grid Map



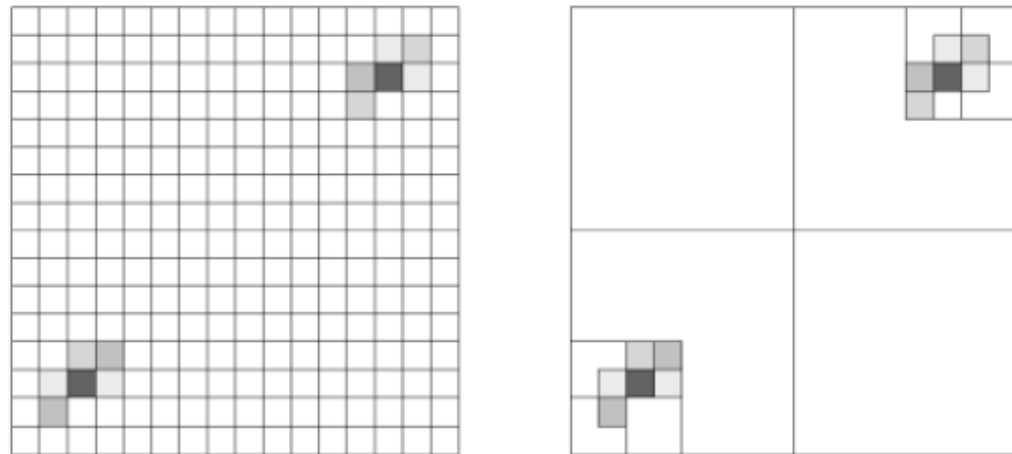
# Decomposizione Dinamica

Density Tree: decomposizione ricorsiva adatta alla risoluzione del post

Meno è probabile una regione, minore è la risoluzione

Più precisa ed efficiente (ordini di grandezza)

Quadtree  
o Octree



# Particle Filters

Filtri ad Istogrammi:

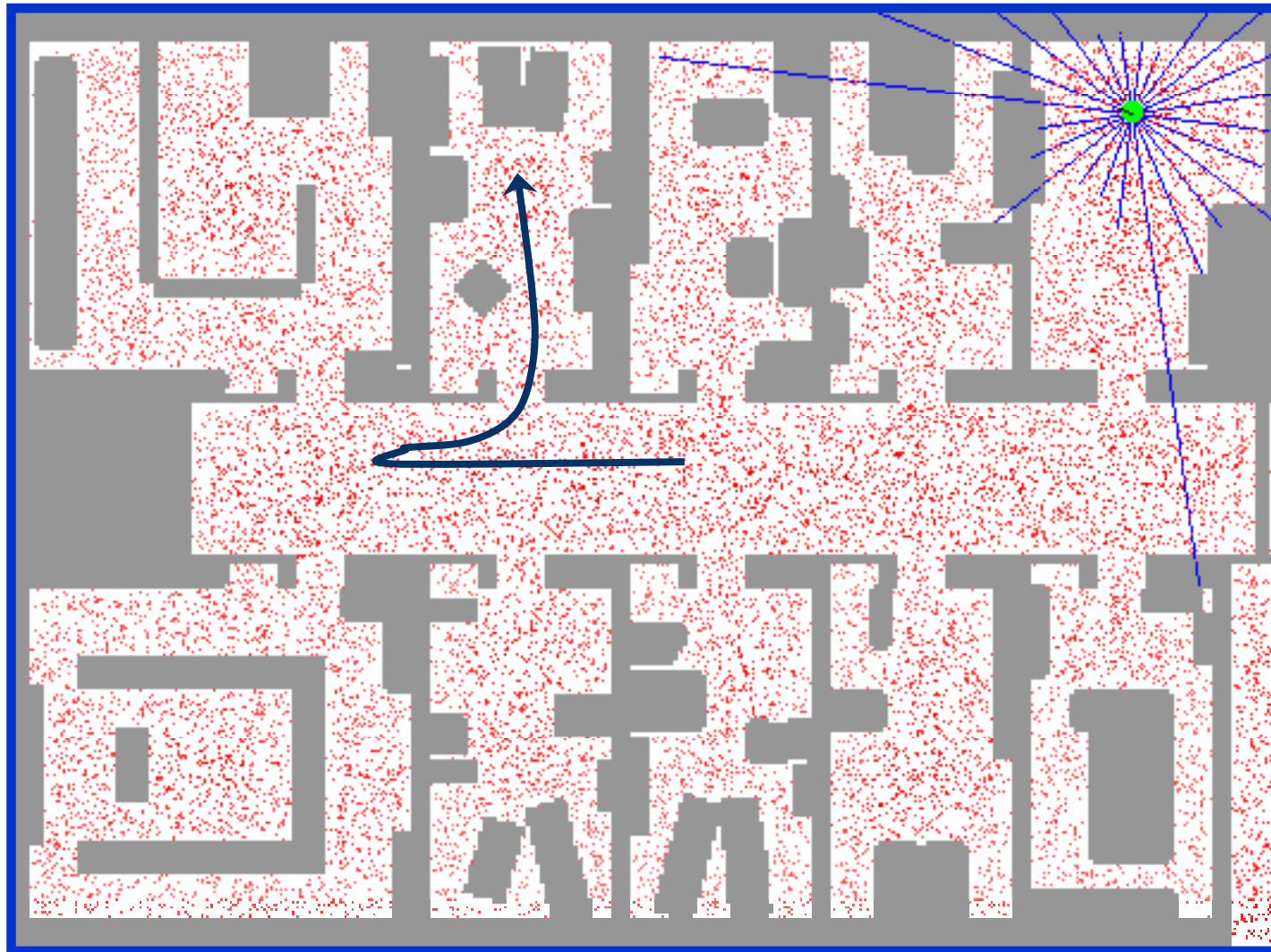
- Discretizzazione dello spazio (statica o dinamica)
- Problemi di risoluzione ed efficienza

Alternativa più efficiente: **Particle Filters**

Approssimano il post con un numero finito di parametri, ma tecnica diversa:

- Insiemi di ipotesi (particles) rappresentano il post
- Sopravvivono le migliori

# Localizzazione basata su Campioni (sonar)



# Particle Filters

- Rappresenta i belief con campioni random
- Stima di **non-Gaussiane, processi nonlineari**
- Monte Carlo filter, Survival of the fittest, Condensation, Bootstrap filter, Particle filter
- Adattivi: numero di campioni dipendenti dalle risorse e dalla complessità del task.
- Filtering: [Rubin, 88], [Gordon et al., 93], [Kitagawa 96]
- Computer vision: [Isard and Blake 96, 98]
- Dynamic Bayesian Networks: [Kanazawa et al., 95]d

# Particle Filter

1. Lo stato al tempo  $t$  è rappresentato da un insieme di campioni (particles):

$$X_t = X_{t,1}, X_{t,2}, \dots, X_{tM}$$

2. Ogni  $X_{t,i}$  è una istanza dello stato al tempo  $t$ ,  $M$  e' il numero delle particles

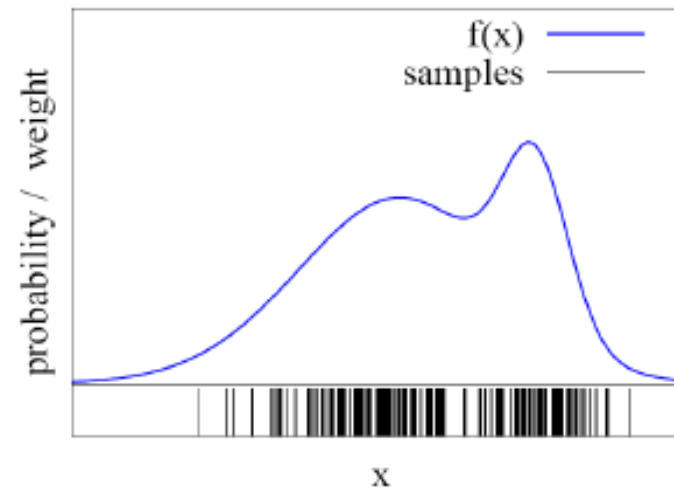
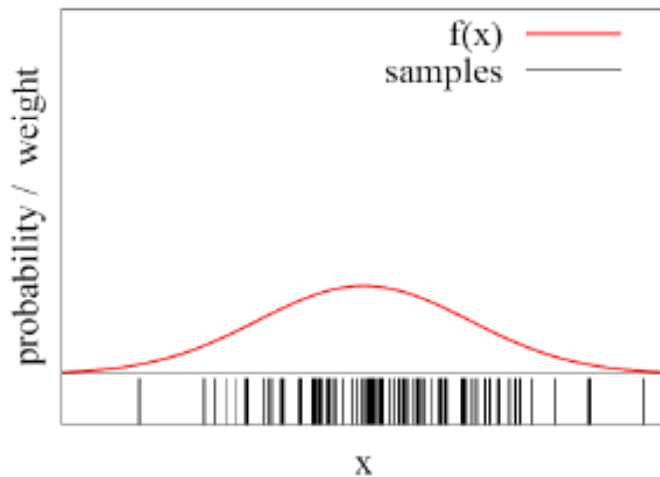
3. Ogni particle e' una ipotesi sullo stato

4. Prob di " $X_{t,m}$  appartenente ad  $X_t$  " approssima  
 $\text{bel}(x_{t,m}): x_{t,m} \sim p(x_t \mid z_{1:t}, u_{1:t})$

# Particle Filter

Gli insiemi di particles  $X_t$  approssimano una funzione di distribuzione

Prob di " $x_{t,m}$  appartenente ad  $X_t$  " approssima  $\text{bel}(x_{t,m})$ :  $x_{t,m} \sim p(x_t \mid z_{1:t}, u_{1:t})$



Più particle cadono in un intervallo più è probabile l'intervallo

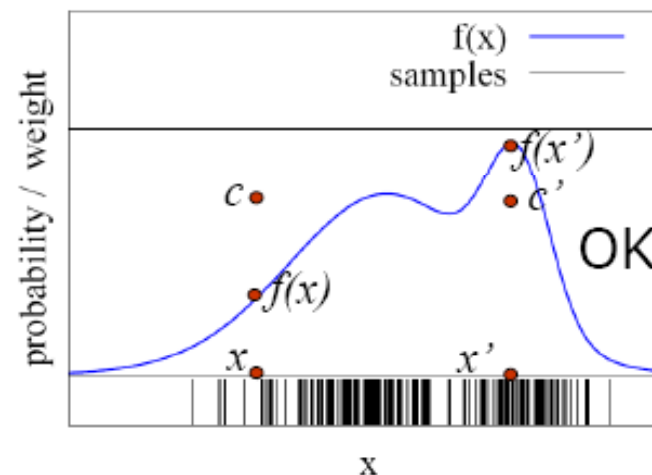
# Campionamento per Rifiuto (rejection sampling)

Si assume  $f(x) < 1$  per ogni  $x$

Campionamento da distribuzione uniforme

Si campiona  $c$  da  $[0,1]$

Se  $f(x) > c$  allora si mantiene il campione  
altrimenti si scarta



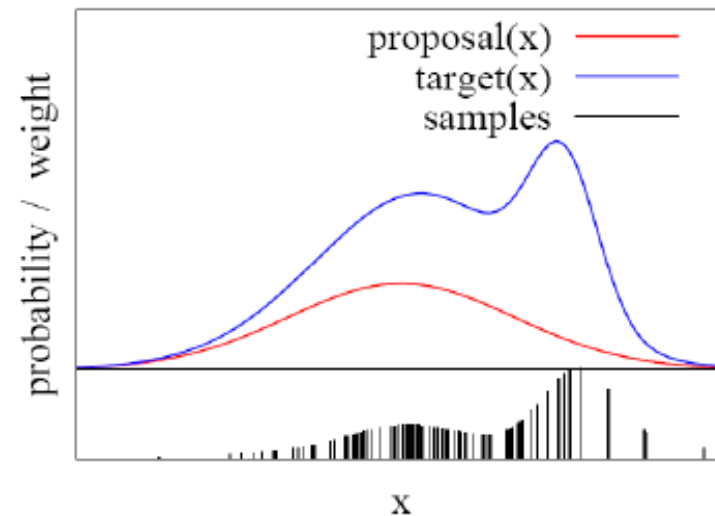


# Importance Sampling

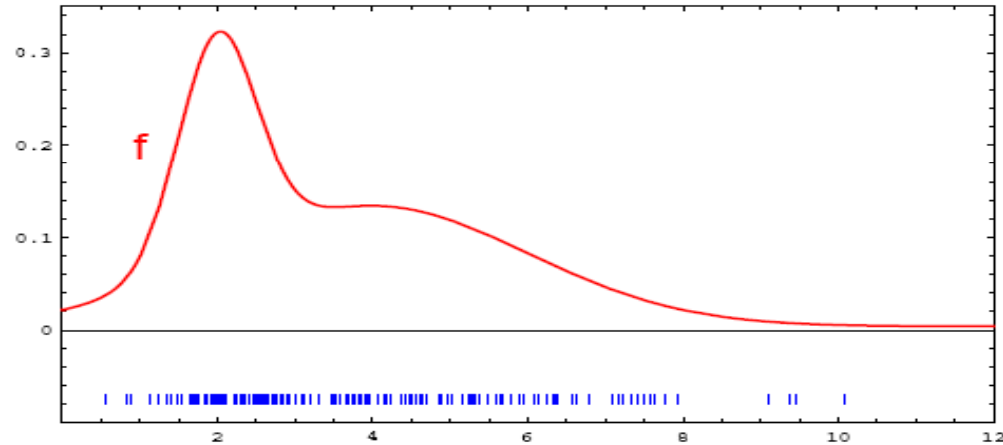
Si vuole fare sampling dalla  $\text{target}(x)$  ma si può fare da  $\text{proposal}(x)$

Un sample da  $\text{proposal}(x)$  viene pesato con:  
 $w = \text{target}(x) / \text{proposal}(x)$

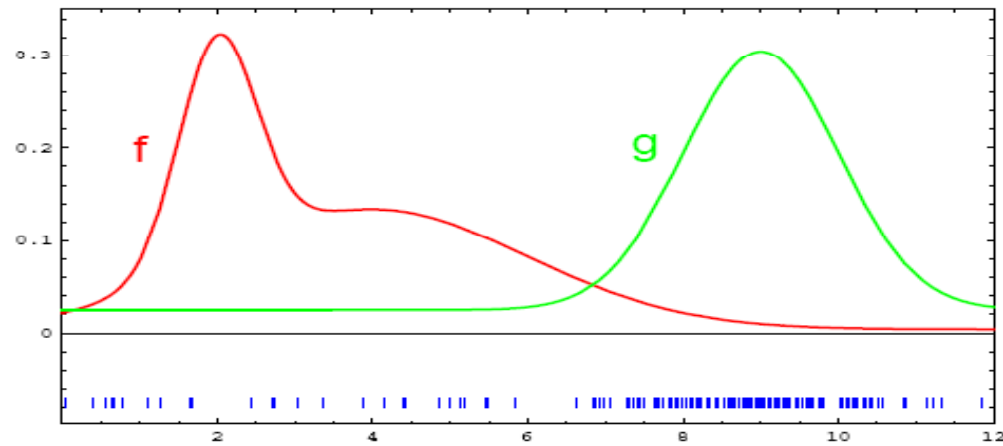
Condizione:  
 $\text{target}(x) \rightarrow \text{proposal}(x)$



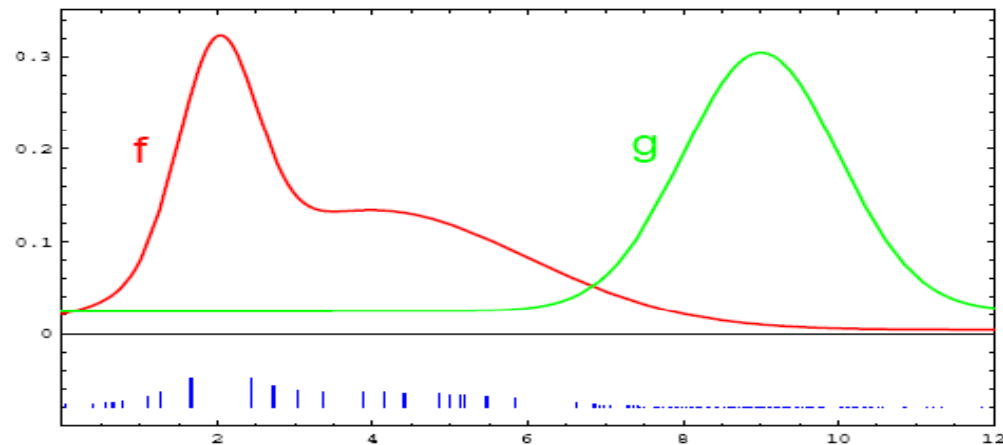
Campioni da  $f(x)$ ,  
ma non possibile



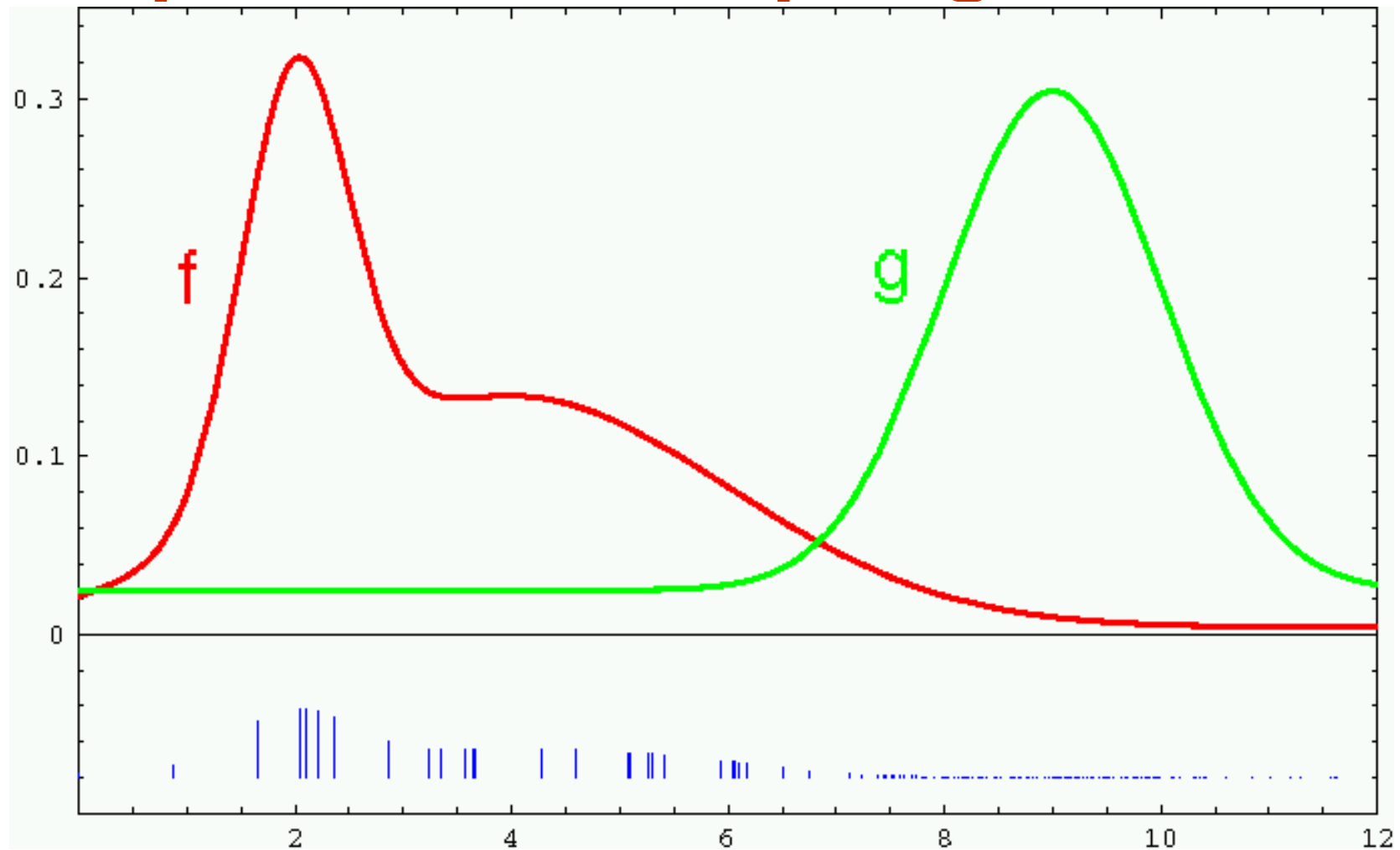
Campioni da  $g(x)$



Campioni pesati  
con  $f(x)/g(x)$



# Importance Sampling

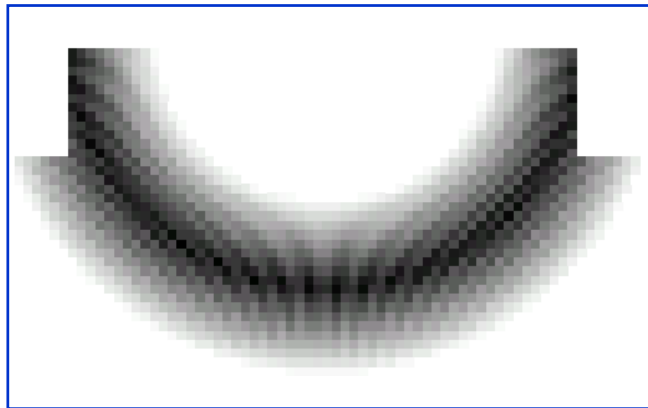
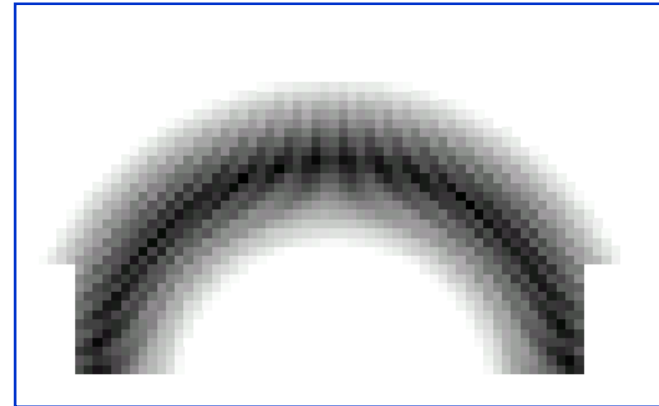
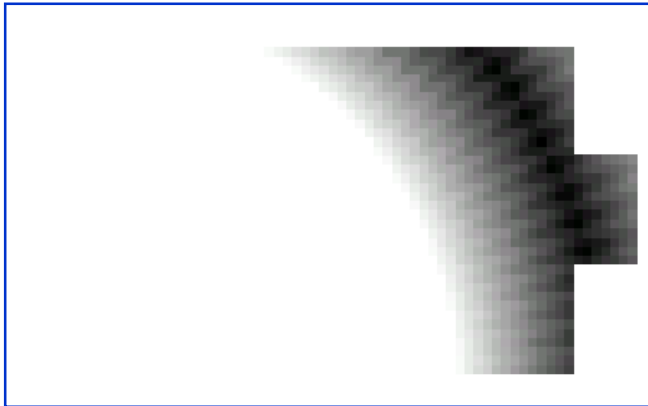
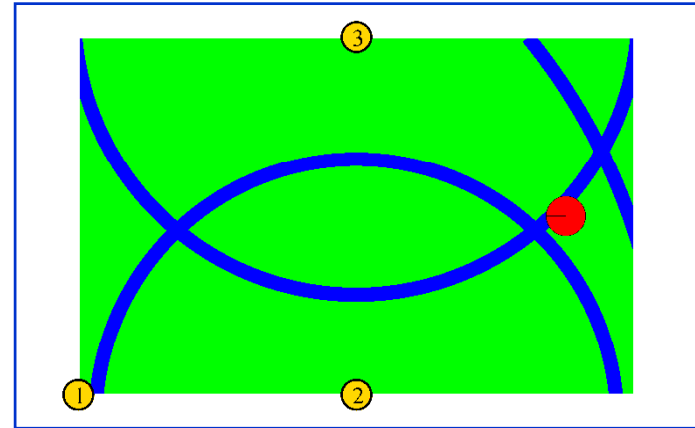


**Peso dei campioni:**  $w = f/g$

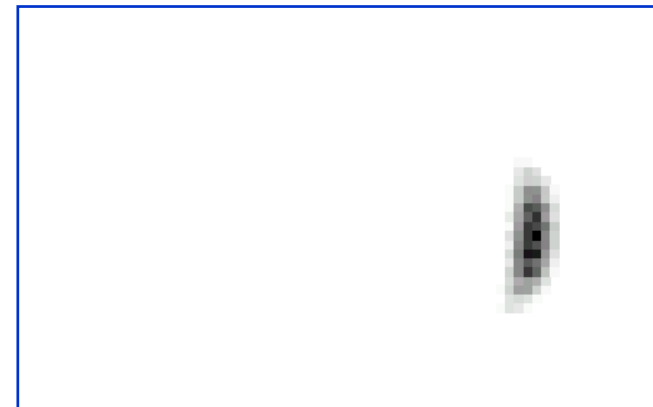
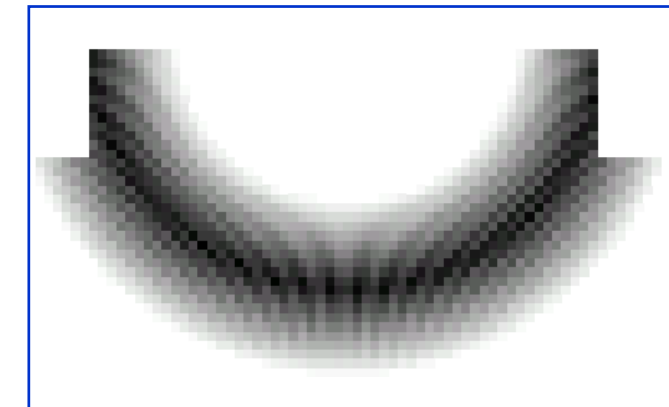
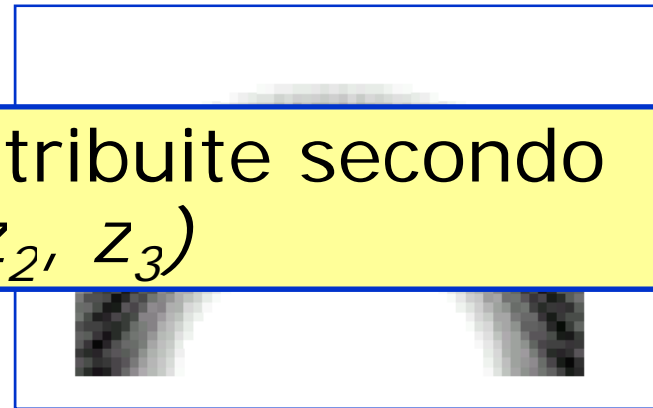
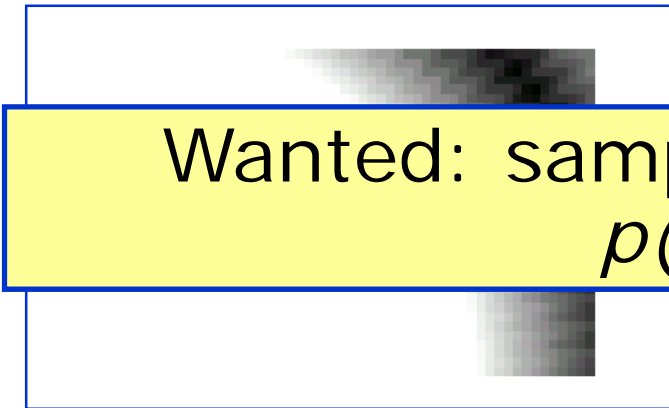
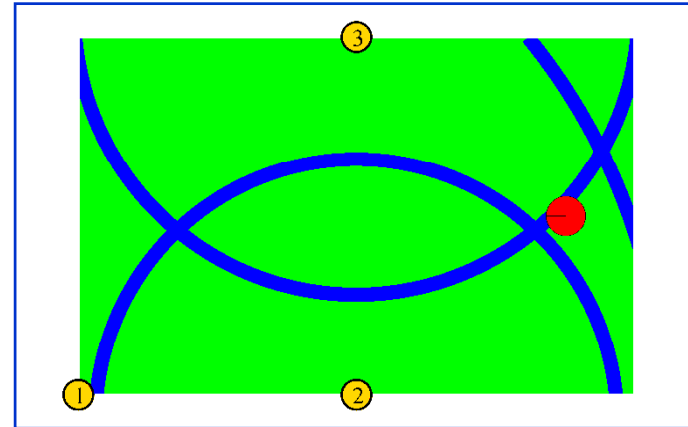
# Importance Sampling con Resampling: Esempio



# Distribuzioni



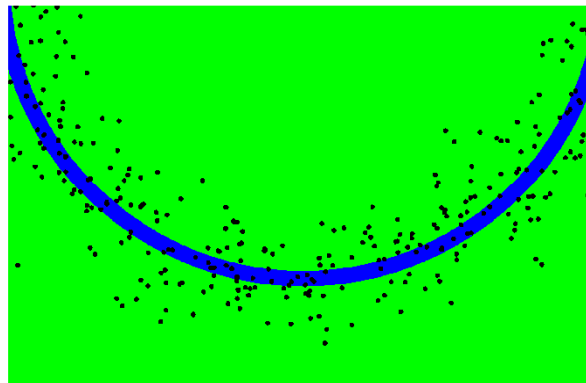
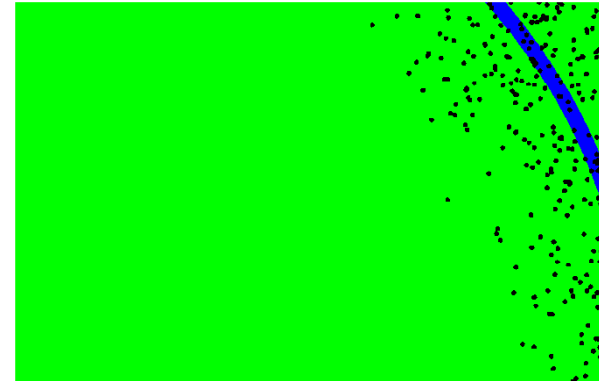
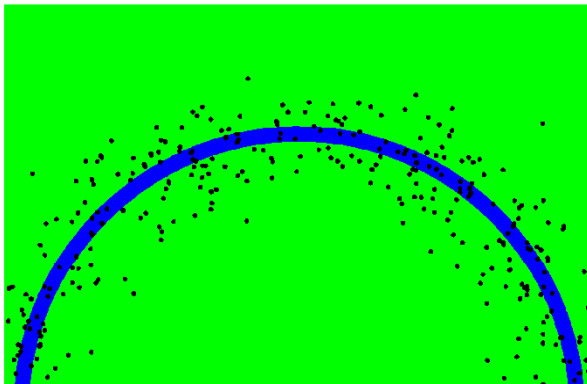
# Distribuzioni



Wanted: samples distribuite secondo  
 $p(x | z_1, z_2, z_3)$

# Campionamento

Estrarre campioni da  $p(x/z_i)$



# Importance Sampling con Resampling

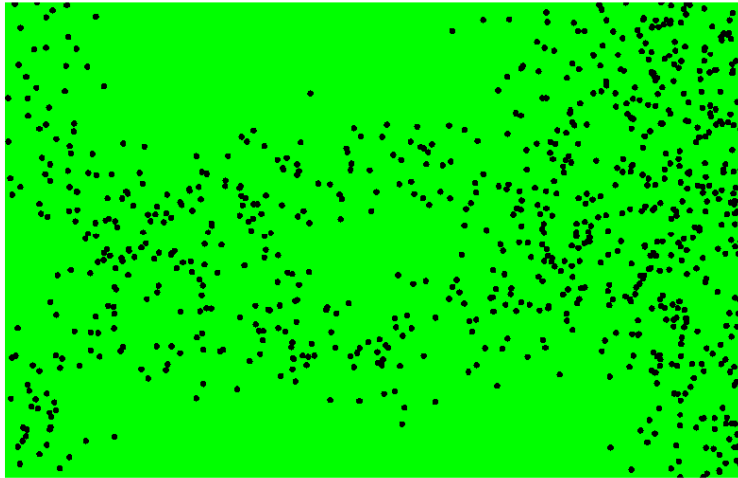
$$\text{Target distribution } f : p(x | z_1, z_2, \dots, z_n) = \frac{\prod_k p(z_k | x) p(x)}{p(z_1, z_2, \dots, z_n)}$$

$$\text{Sampling distribution } g : p(x | z_l) = \frac{p(z_l | x) p(x)}{p(z_l)}$$

$$\text{Importance weights } w : \frac{f}{g} = \frac{p(x | z_1, z_2, \dots, z_n)}{p(x | z_l)} = \frac{p(z_l) \prod_{k \neq l} p(z_k | x)}{p(z_1, z_2, \dots, z_n)}$$



# Importance Sampling con Resampling



Campioni pesati



Dopo il resampling

# Importance Sampling

Campionamento di  $g$

$$\frac{1}{M} \sum_{m=1}^M I(x^{[m]} \in A) \longrightarrow \int_A g(x) dx$$

Differenza tra  $g$  ed  $f$

$$w^{[m]} = \frac{f(x^{[m]})}{g(x^{[m]})}$$

Permette di ricostruire  $f$

$$\left[ \sum_{m=1}^M w^{[m]} \right]^{-1} \sum_{m=1}^M I(x^{[m]} \in A) w^{[m]} \longrightarrow \int_A f(x) dx$$

# Importance Sampling

Nel caso del filtro particellare:

$$\text{Target}(x) = \text{Bel}(x_t) \rightarrow X_t$$

$$\text{Proposal}(x) = p(x_t | u_t, x_{t-1}) \text{Bel}(x_{t-1}) \rightarrow X'_t$$

$$w = p(z_t | x_t)$$

# Particle Filter

Come  $\text{bel}(x_t)$  si aggiorna da  $\text{bel}(x_{t-1})$

Così  $X_t$  si aggiorna da  $X_{t-1}$

Le ipotesi sono pesate:

$$S = \left\{ \left\langle s^{[i]}, w^{[i]} \right\rangle \mid i = 1, \dots, N \right\}$$

State hypothesis                      Importance weight

I campioni pesati usati per rappresentare il post:

$$p(x) = \sum_{i=1}^N w_i \cdot \delta_{s^{[i]}}(x)$$

# Particle Filter: Algoritmo

Prima crea  $X'_t$  dal moto  $u_t$  rappresenta  $bel'(t)$ , quindi corregge con le osservazioni  $z_t$

```
1:   Algorithm Particle filter( $\mathcal{X}_{t-1}, u_t, z_t$ ):  
2:      $\bar{\mathcal{X}}_t = \mathcal{X}_t = \emptyset$   
3:     for  $m = 1$  to  $M$  do  
4:       sample  $x_t^{[m]} \sim p(x_t | u_t, x_{t-1}^{[m]})$   
5:        $w_t^{[m]} = p(z_t | x_t^{[m]})$   
6:        $\bar{\mathcal{X}}_t = \bar{\mathcal{X}}_t + \langle x_t^{[m]}, w_t^{[m]} \rangle$   
7:     endfor  
8:     for  $m = 1$  to  $M$  do  
9:       draw  $i$  with probability  $\propto w_t^{[i]}$   
10:      add  $x_t^{[i]}$  to  $\mathcal{X}_t$   
11:    endfor  
12:    return  $\mathcal{X}_t$ 
```

Generation  
Importance  
factor

Resampling

# Particle Filter: Algoritmo

Si parte da  $X_{t-1}$  che rapp  $Bel_{t-1}(x)$

Si applica il modello di moto  
 $p(x_{t,i} | u_t, x_{t-1,i})$  e si campiona  $X'_t$

Si pesano i campioni rispetto a  $P(z|x)$

Si effettua il ricampionamento per avere  $X_t$

# Particle Filter: Algoritmo

Target

$$\begin{aligned}
 & p(x_{0:t} \mid z_{1:t}, u_{1:t}) \\
 & \stackrel{\text{Bayes}}{=} \eta p(z_t \mid x_{0:t}, z_{1:t-1}, u_{1:t}) p(x_{0:t} \mid z_{1:t-1}, u_{1:t}) \\
 & \stackrel{\text{Markov}}{=} \eta p(z_t \mid x_t) p(x_{0:t} \mid z_{1:t-1}, u_{1:t}) \\
 & = \eta p(z_t \mid x_t) p(x_t \mid x_{0:t-1}, z_{1:t-1}, u_{1:t}) p(x_{0:t-1} \mid z_{1:t-1}, u_{1:t}) \\
 & \stackrel{\text{Markov}}{=} \eta p(z_t \mid x_t) p(x_t \mid x_{t-1}, u_t) p(x_{0:t-1} \mid z_{1:t-1}, u_{1:t-1})
 \end{aligned}$$

Proposal

$$\begin{aligned}
 & p(x_t \mid x_{t-1}, u_t) \text{bel}(x_{0:t-1}) \\
 & = p(x_t \mid x_{t-1}, u_t) p(x_{0:t-1} \mid z_{0:t-1}, u_{0:t-1})
 \end{aligned}$$

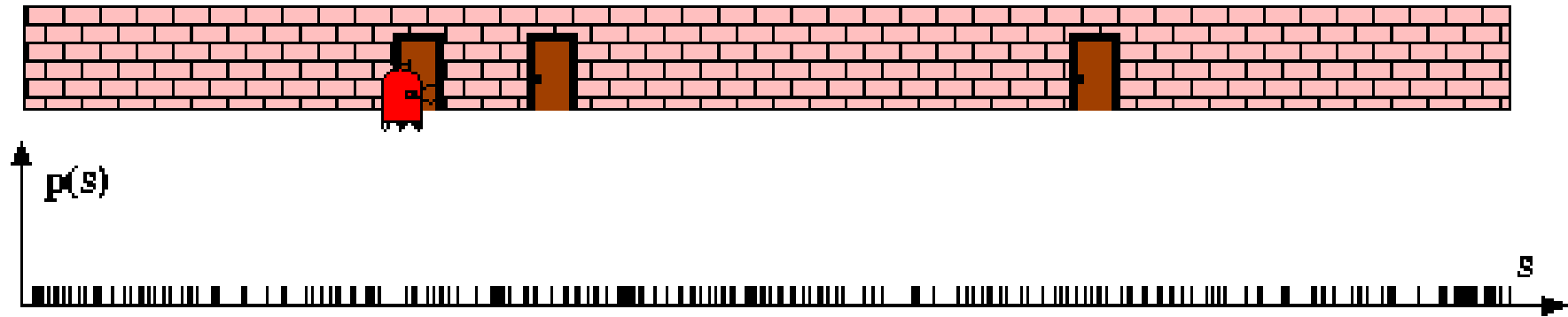
Peso

$$\begin{aligned}
 w_t^{[m]} & = \frac{\text{target distribution}}{\text{proposal distribution}} \\
 & = \frac{\eta p(z_t \mid x_t) p(x_t \mid x_{t-1}, u_t) p(x_{0:t-1} \mid z_{1:t-1}, u_{1:t-1})}{p(x_t \mid x_{t-1}, u_t) p(x_{0:t-1} \mid z_{0:t-1}, u_{0:t-1})} \\
 & = \eta p(z_t \mid x_t)
 \end{aligned}$$

Target

$$\eta w_t^{[m]} p(x_t \mid x_{t-1}, u_t) p(x_{0:t-1} \mid z_{0:t-1}, u_{0:t-1}) = \text{bel}(x_{0:t})$$

# Particle Filters

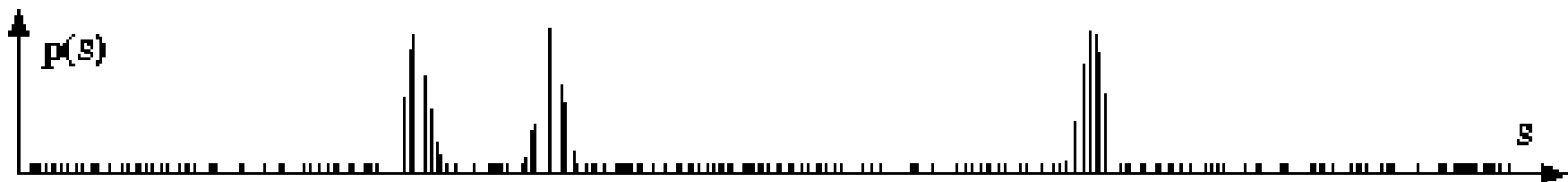
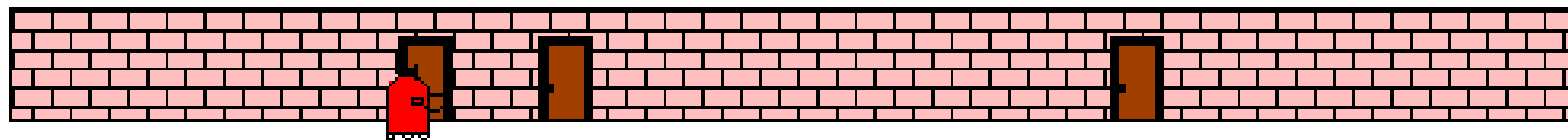
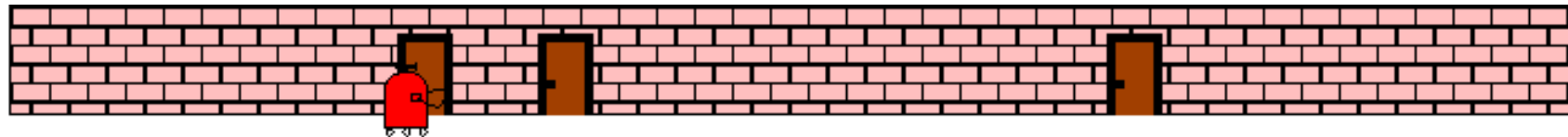


La posa iniziale sono particelle prese in modo random



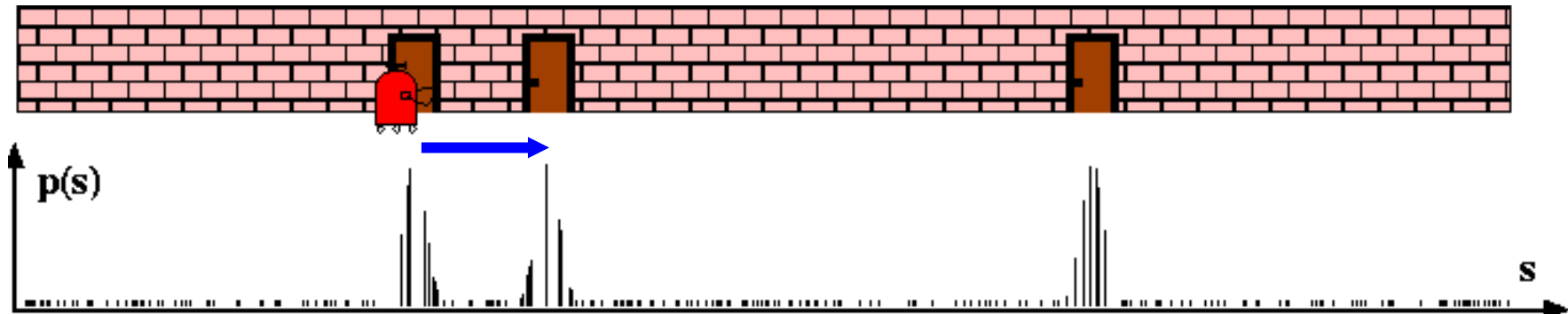
# Informazione Sensori: Importance Sampling

$$\begin{aligned} Bel(x) &\leftarrow \alpha p(z|x) Bel^-(x) \\ w &\leftarrow \frac{\alpha p(z|x) Bel^-(x)}{Bel^-(x)} = \alpha p(z|x) \end{aligned}$$

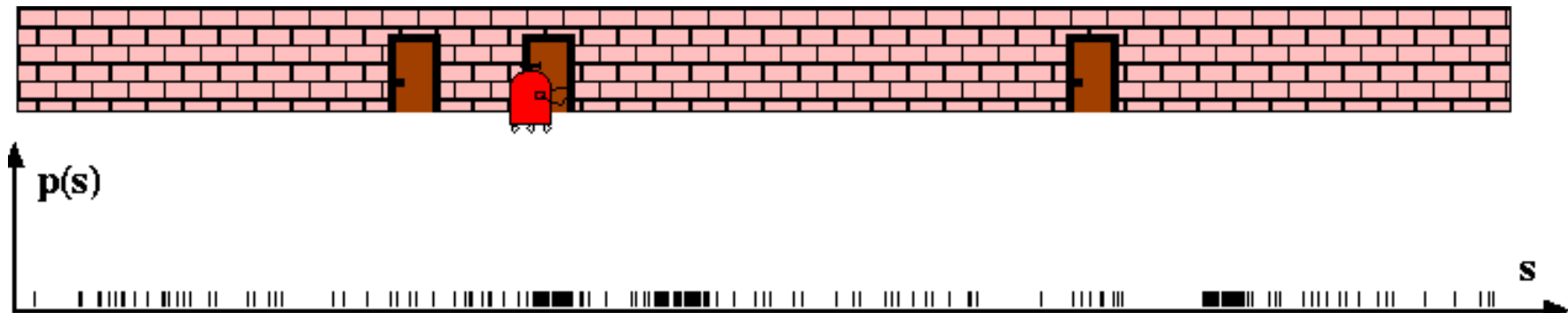


# Robot Motion

$$Bel^-(x) \leftarrow \int p(x|u, x') Bel(x') dx'$$

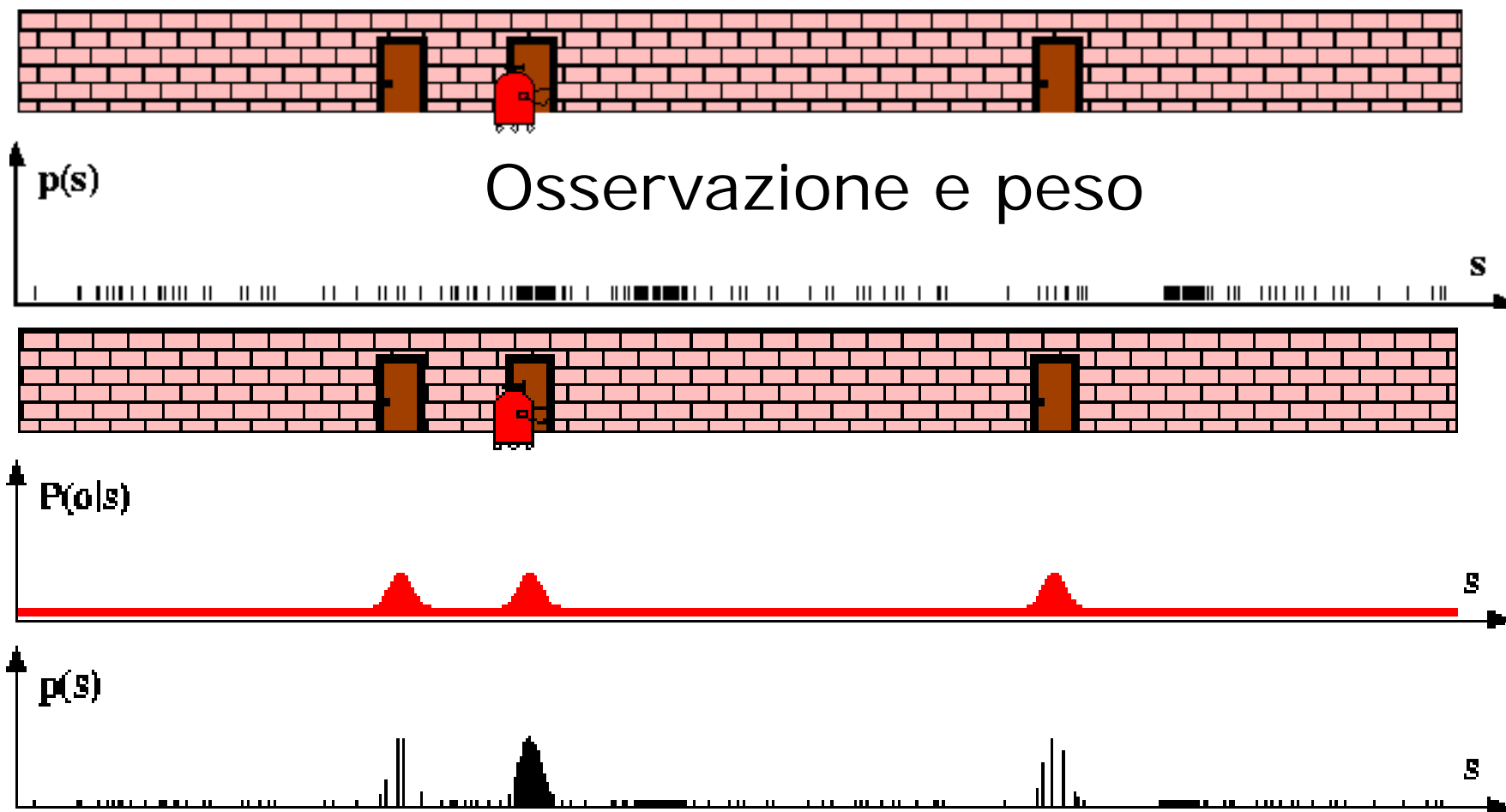


Ricampionamento e spostamento  $Bel'(x)$



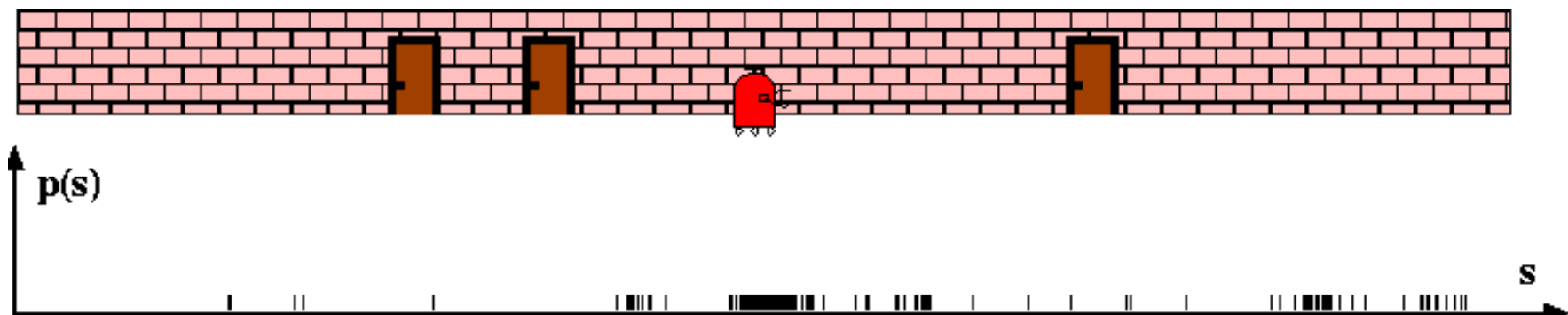
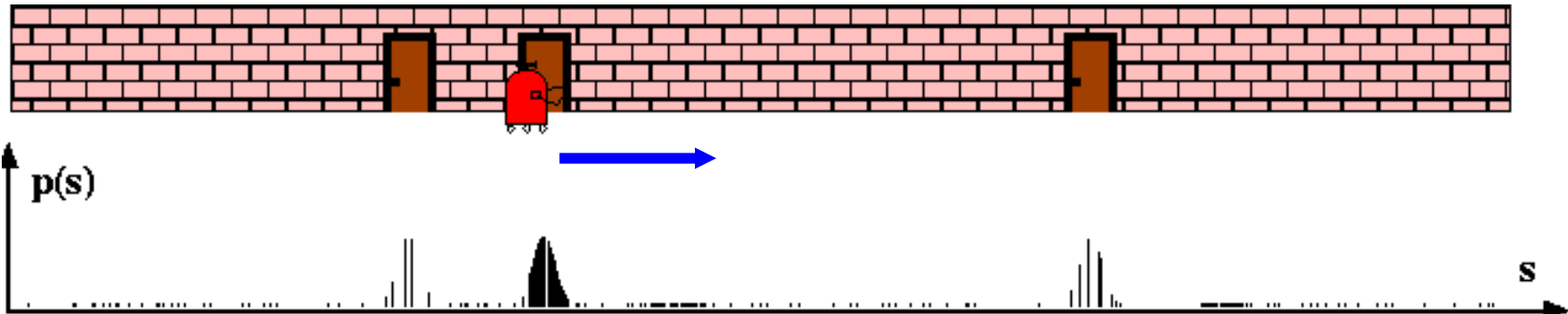
# Informazione Sensori: Importance Sampling

$$\begin{aligned} Bel(x) &\leftarrow \alpha p(z|x) Bel^-(x) \\ w &\leftarrow \frac{\alpha p(z|x) Bel^-(x)}{Bel^-(x)} = \alpha p(z|x) \end{aligned}$$



# Robot Motion

$$Bel^-(x) \leftarrow \int p(x|u, x') Bel(x') dx'$$

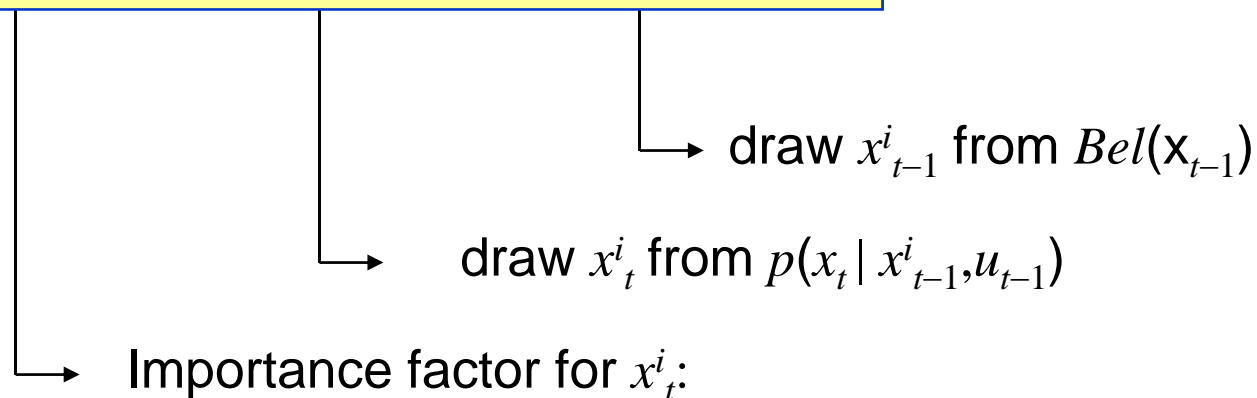


# Algoritmo del Particle Filter

1. Algorithm **particle\_filter**(  $S_{t-1}, u_{t-1} z_t$ ):
2.  $S_t = \emptyset, \quad \eta = 0$
3. **For**  $i = 1 \dots n$  *Generate new samples*
4. Sample index  $j(i)$  from the discrete distribution given by  $w_{t-1}$
5. Sample  $x_t^i$  from  $p(x_t | x_{t-1}, u_{t-1})$  using  $x_{t-1}^{j(i)}$  and  $u_{t-1}$
6.  $w_t^i = p(z_t | x_t^i)$  *Compute importance weight*
7.  $\eta = \eta + w_t^i$  *Update normalization factor*
8.  $S_t = S_t \cup \{ \langle x_t^i, w_t^i \rangle \}$  *Insert*
9. **For**  $i = 1 \dots n$
10.  $w_t^i = w_t^i / \eta$  *Normalize weights*

# Algoritmo Particle Filter

$$Bel(x_t) = \eta p(z_t | x_t) \int p(x_t | x_{t-1}, u_{t-1}) Bel(x_{t-1}) dx_{t-1}$$



Sampling da Bel'

Peso da  $P(z|x)$

$$w_t^i = \frac{\text{target distribution}}{\text{proposal distribution}}$$

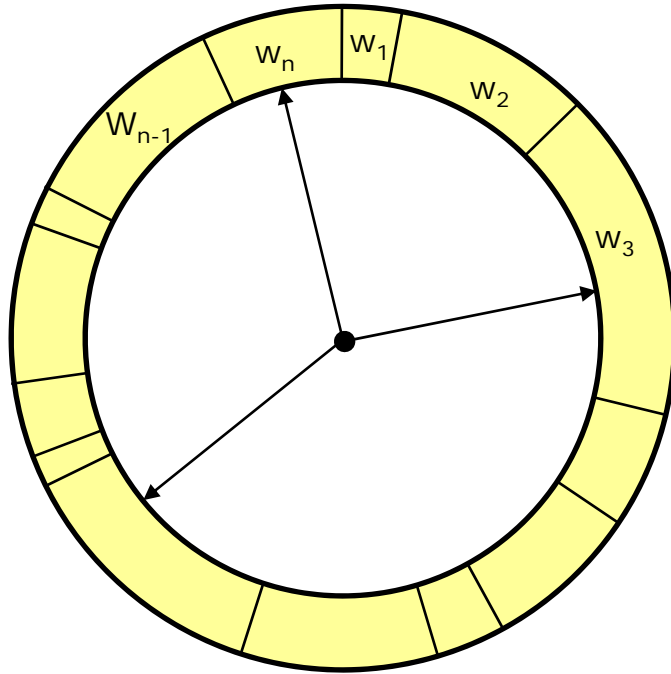
$$= \frac{\eta p(z_t | x_t) p(x_t | x_{t-1}, u_{t-1}) Bel(x_{t-1})}{p(x_t | x_{t-1}, u_{t-1}) Bel(x_{t-1})}$$

$$\propto p(z_t | x_t)$$

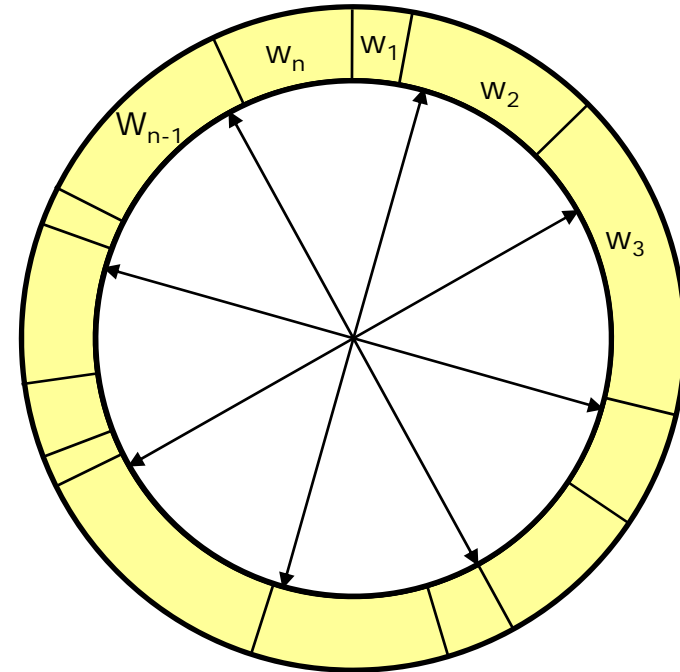
# Resampling

- **Dato**: Insieme  $S$  di campioni pesati.
- **Desiderata** : Campione Random, dove la prob di estrarre  $x_i$  è proporzionale a  $w_i$ .
- Fatto  $n$  volte con rimpiazzamento per generare il nuovo insieme di campioni  $S'$ .

# Resampling



- Roulette wheel
- Binary search,  $n \log n$



- Stochastic universal sampling
- Systematic resampling
- Linear time complexity
- Easy to implement, low variance

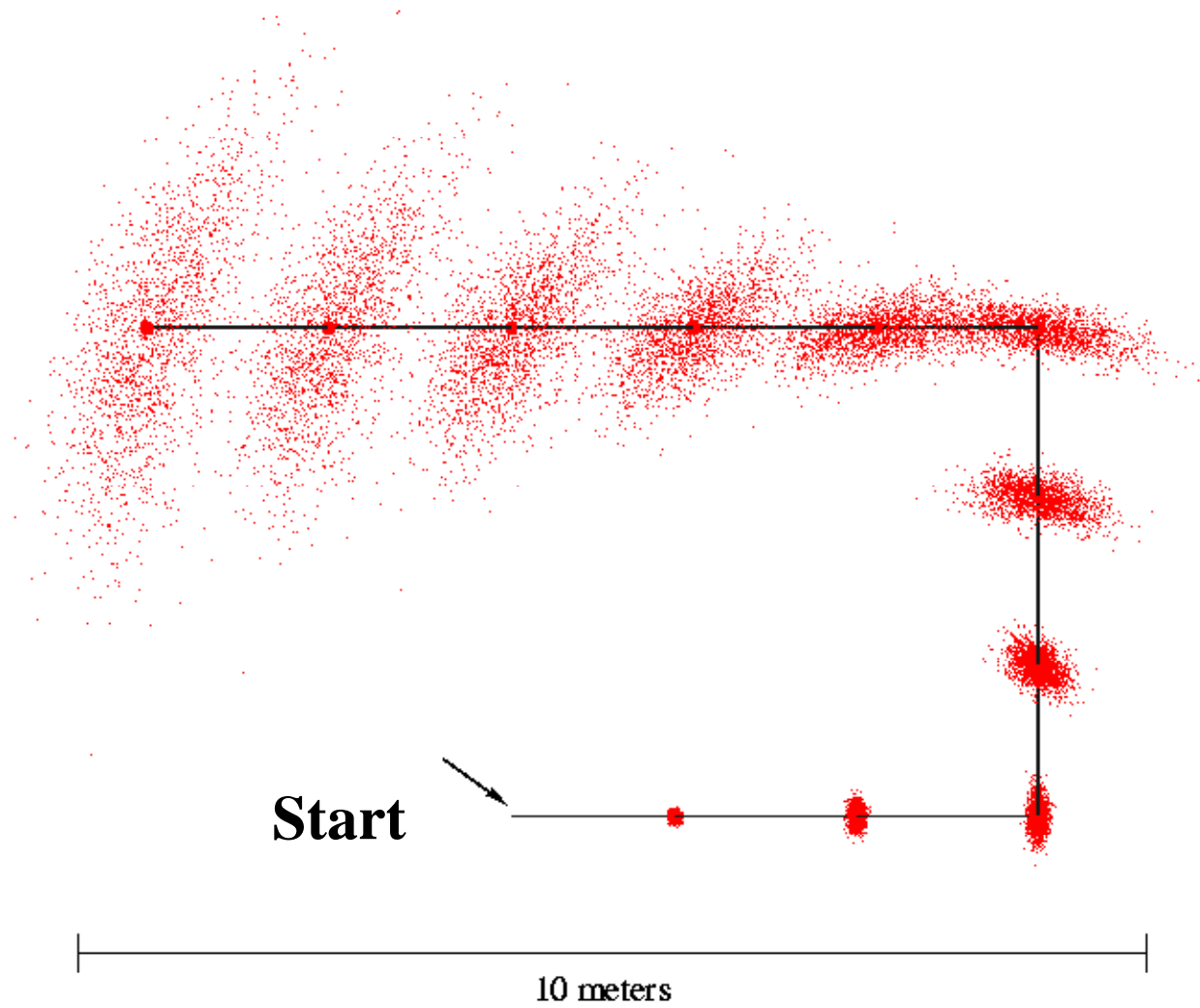


# Resampling

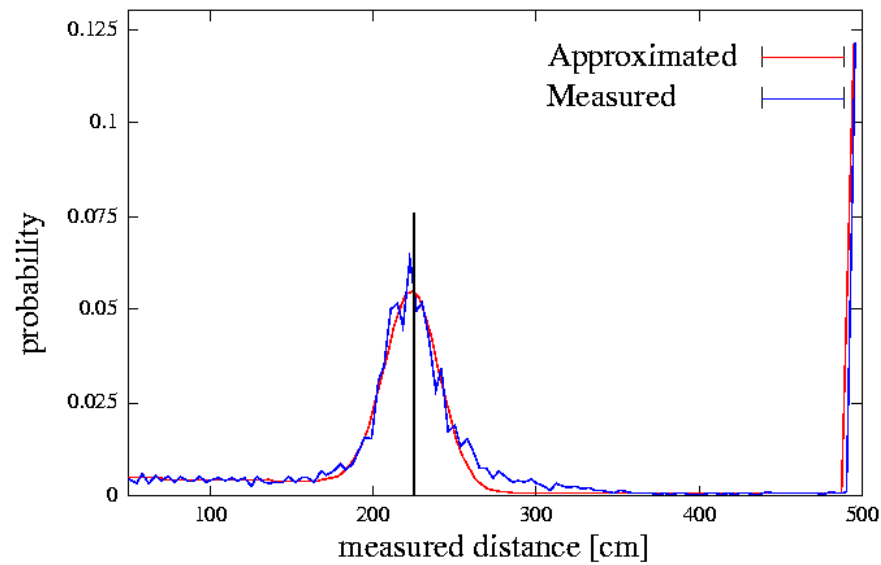
1. Algorithm **systematic\_resampling**( $S, n$ ):
2.  $S' = \emptyset, c_1 = w^1$
3. **For**  $i = 2 \dots n$  *Generate cdf*
4.      $c_i = c_{i-1} + w^i$
5.  $u_1 \sim U ]0, n^{-1}]$ ,  $i = 1$  *Initialize threshold*
6. **For**  $j = 1 \dots n$  *Draw samples ...*
7.     **While** (  $u_j > c_i$  ) *Skip until next threshold reached*
8.          $i = i + 1$
9.      $S' = S' \cup \{ \langle x^i, n^{-1} \rangle \}$  *Insert*
10.      $u_{j+1} = u_j + n^{-1}$  *Increment threshold*
11. **Return**  $S'$

Also called **stochastic universal sampling**

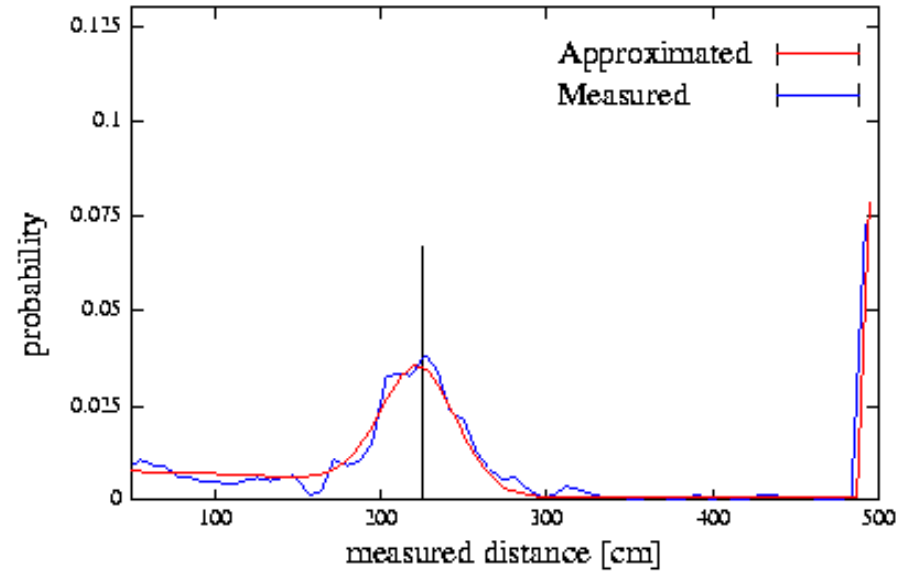
# Modello di Moto



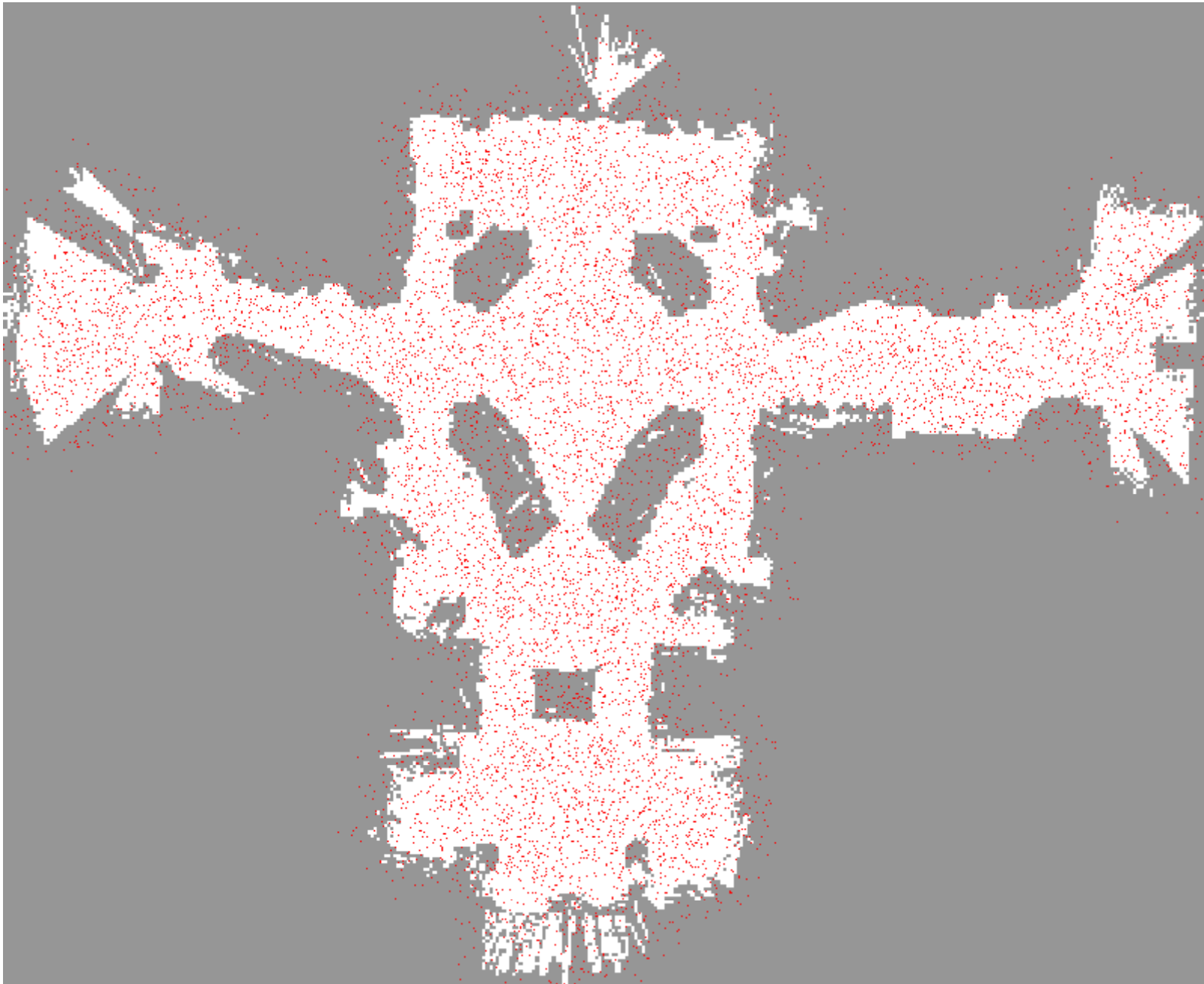
# Proximity Sensor Model

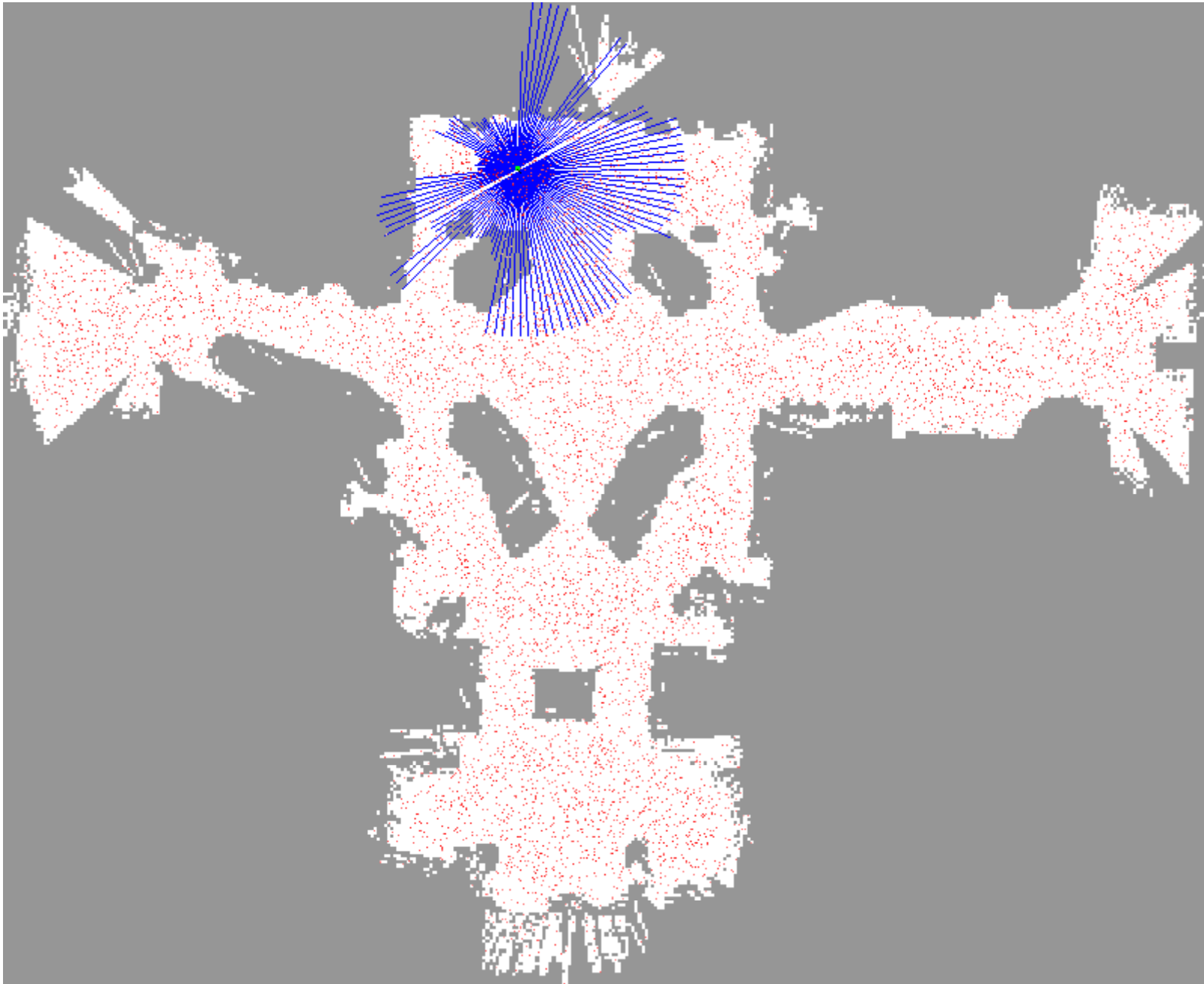


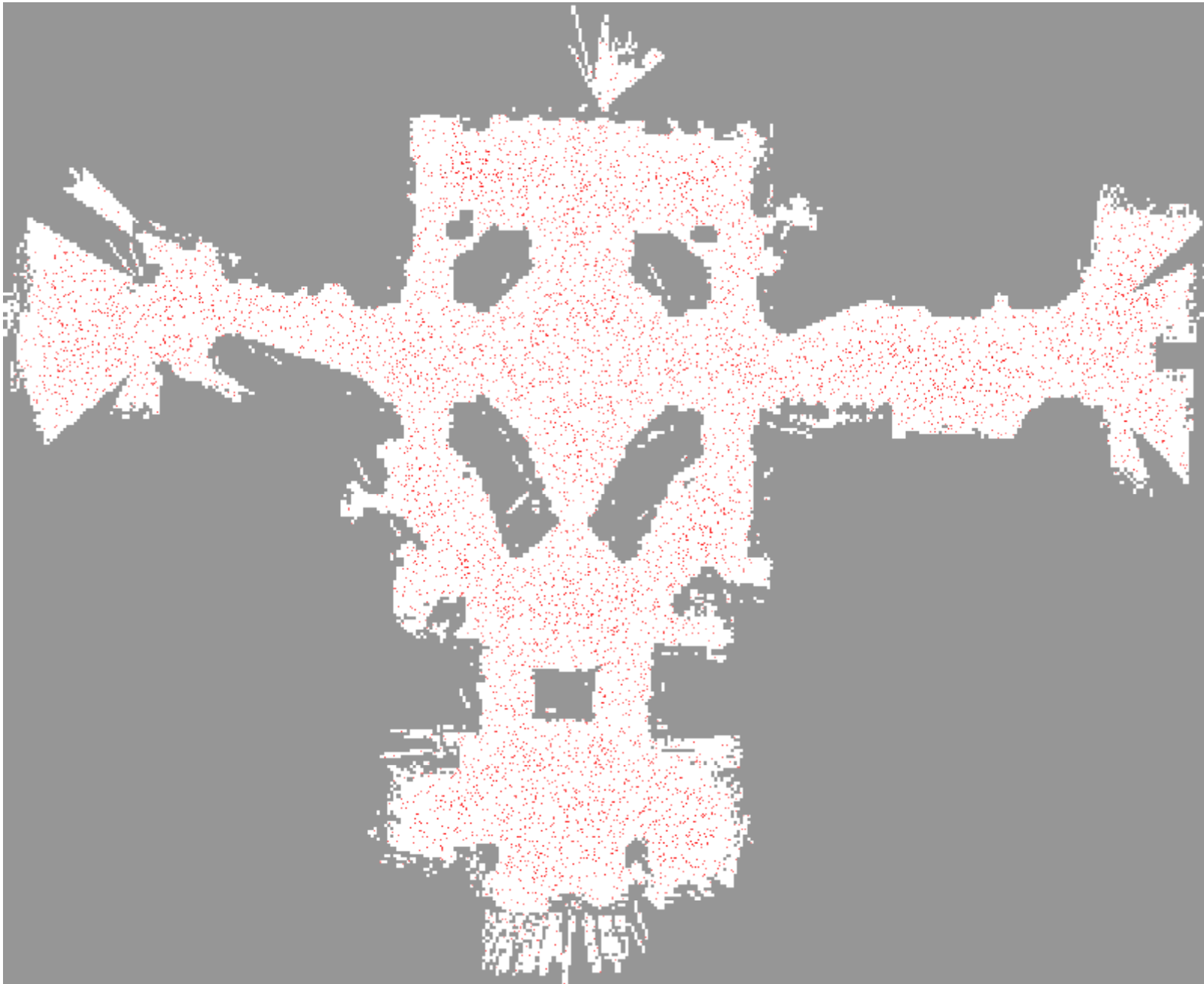
**Laser sensor**



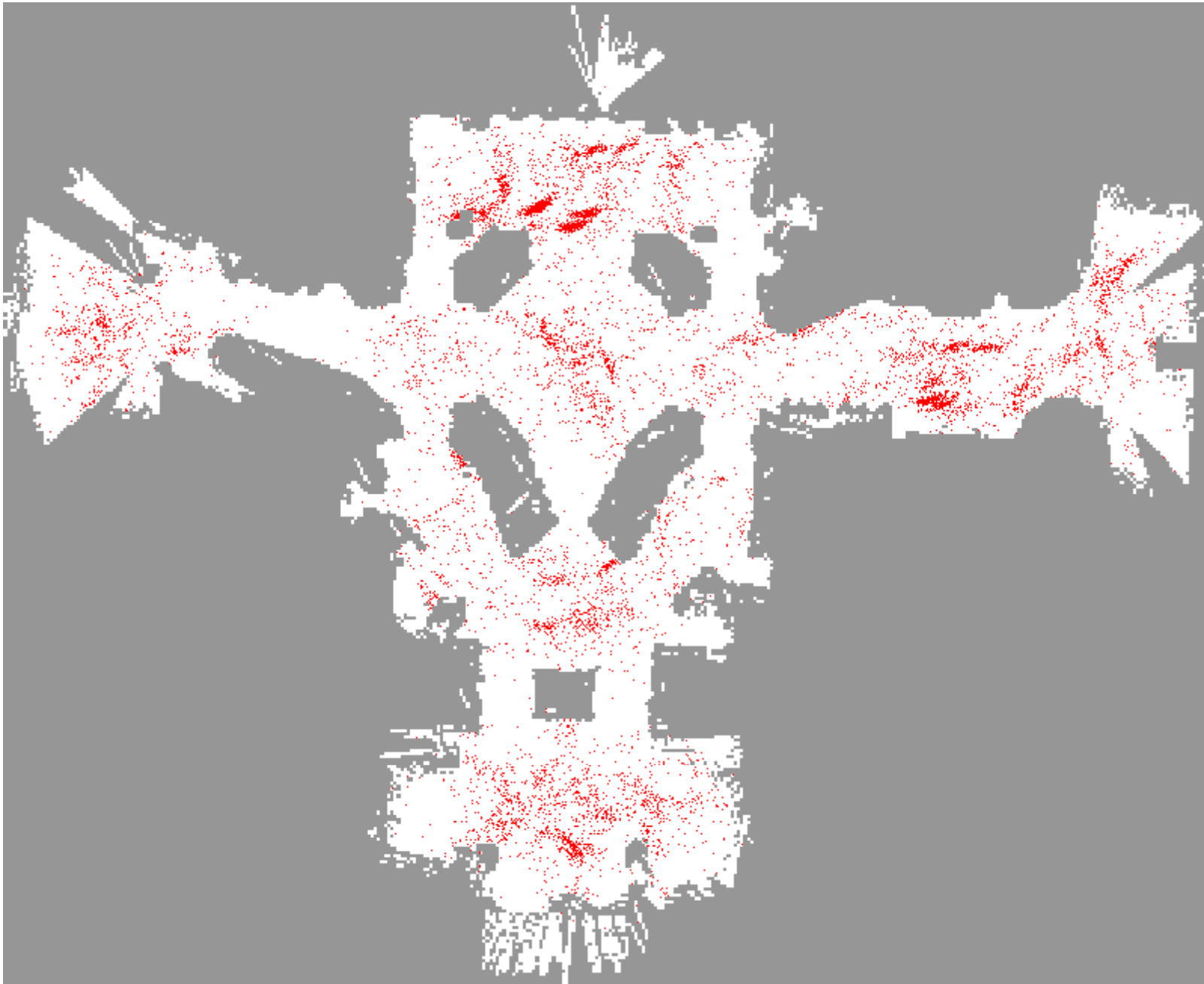
**Sonar sensor**



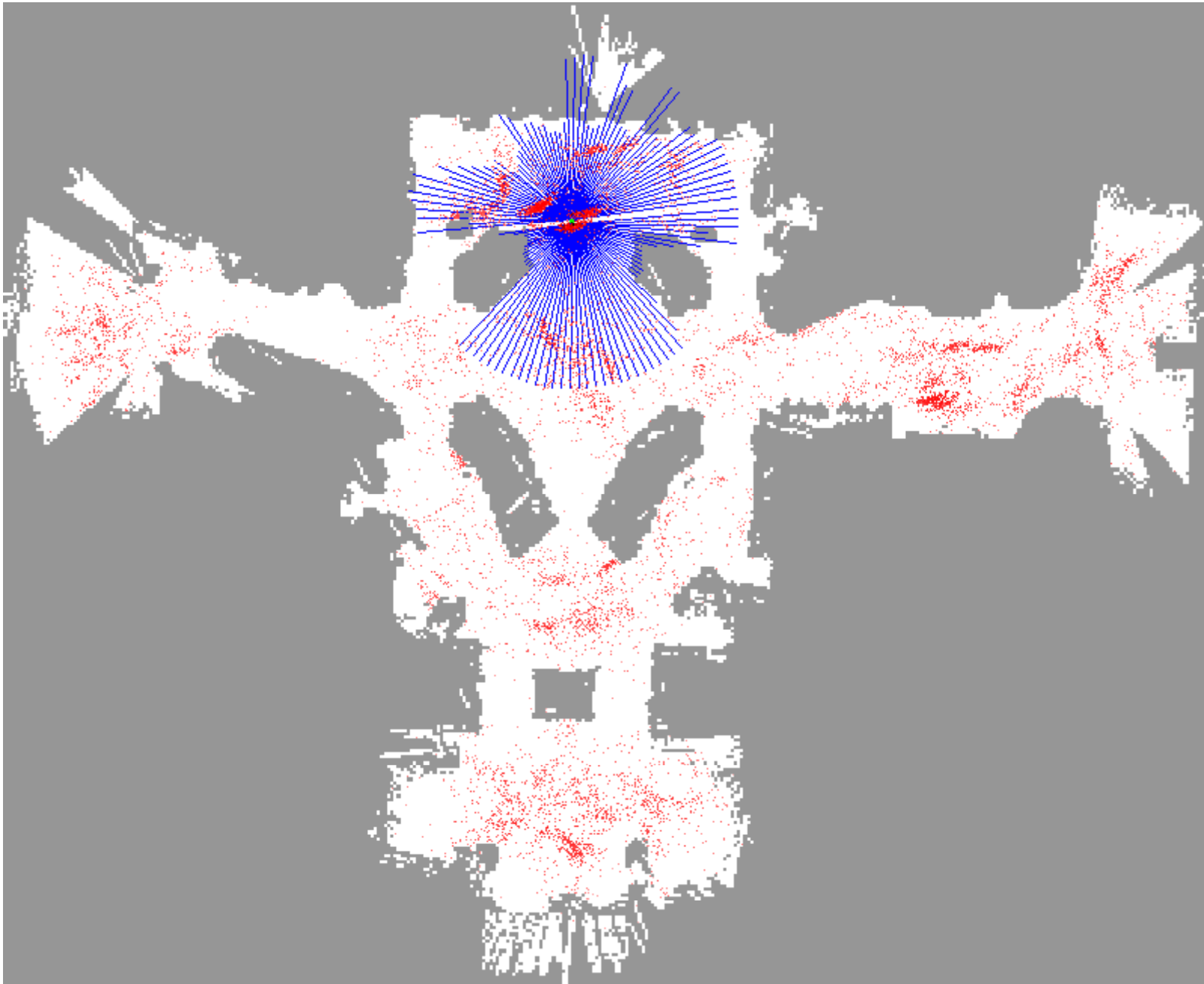


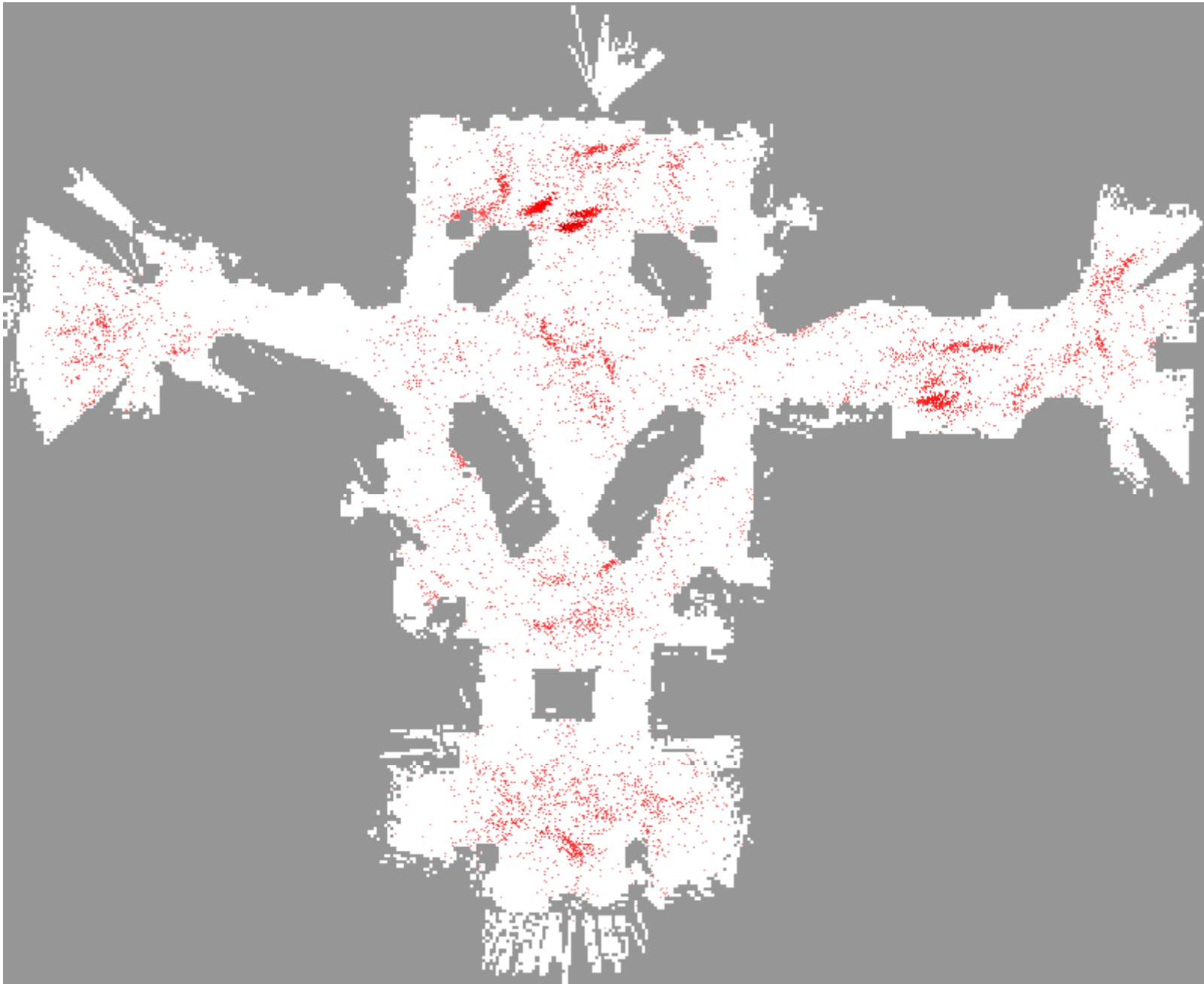


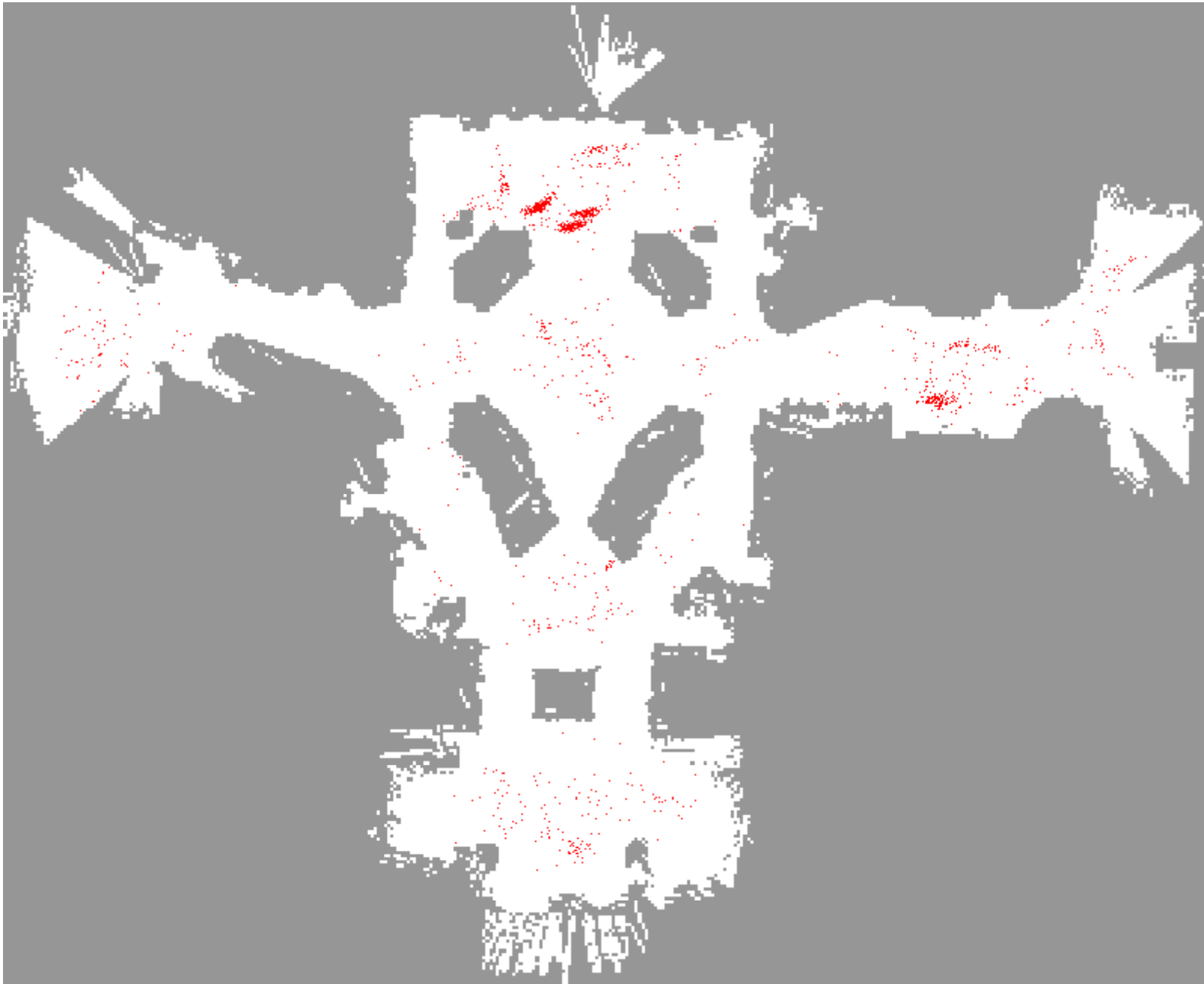




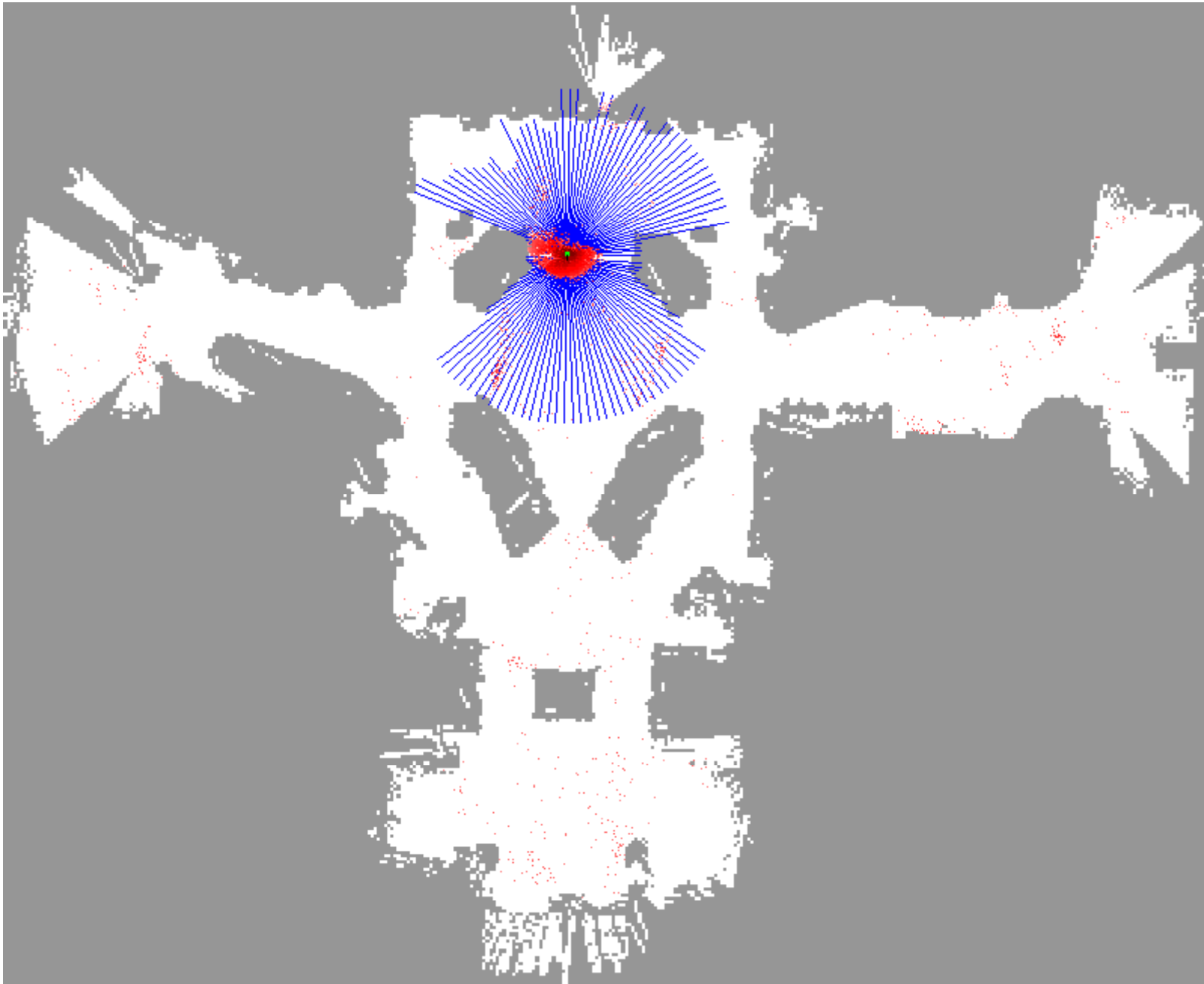


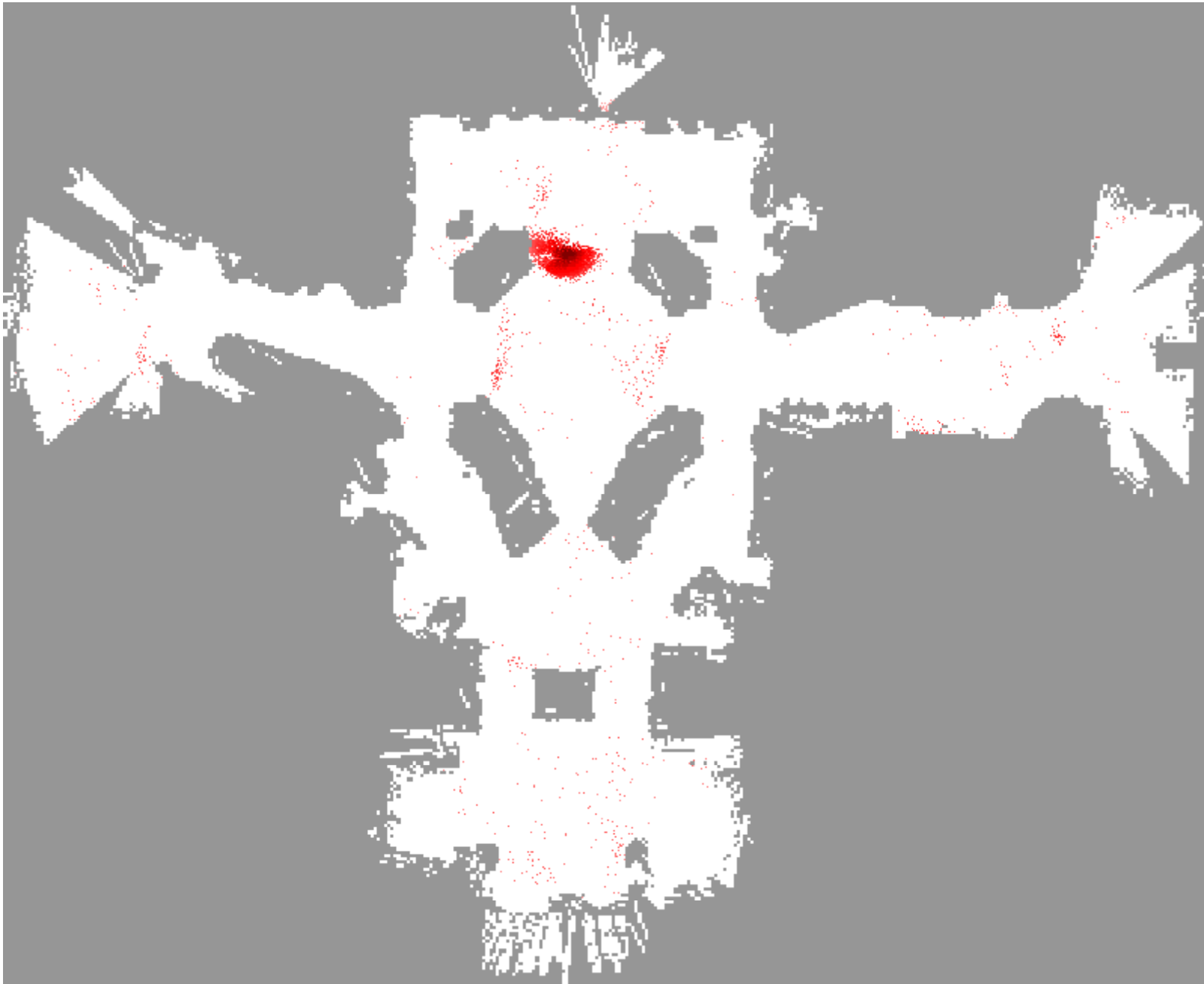


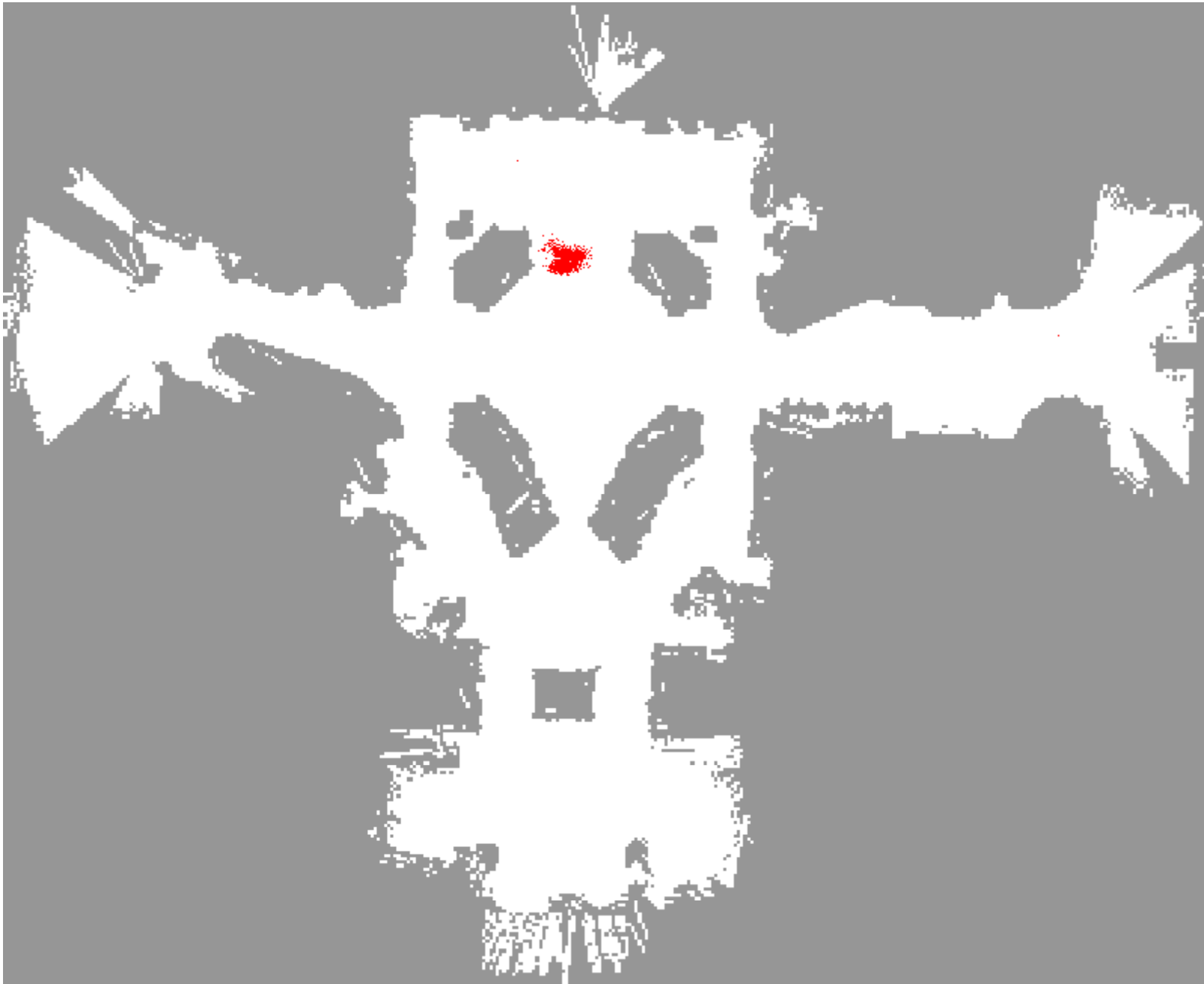


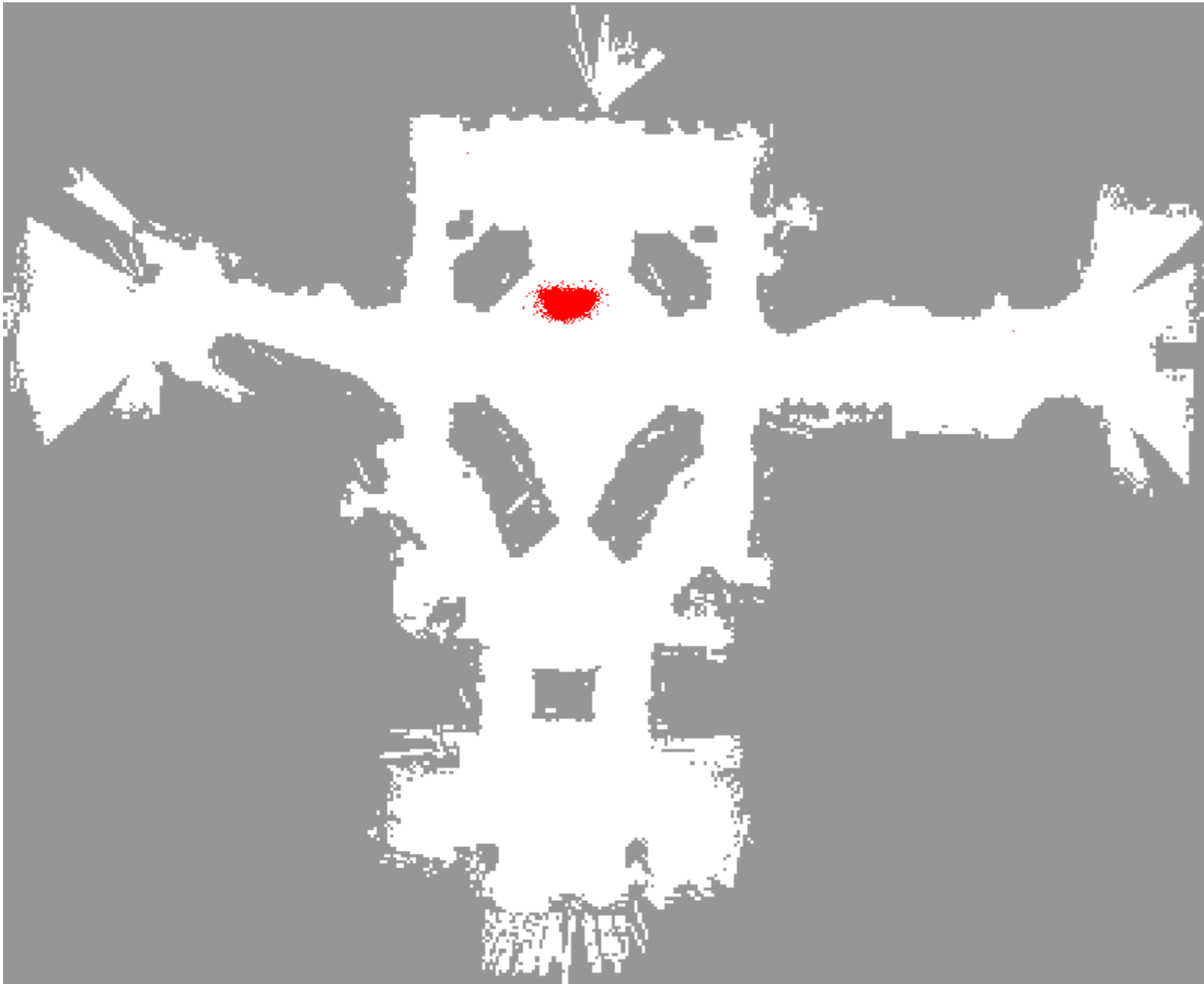




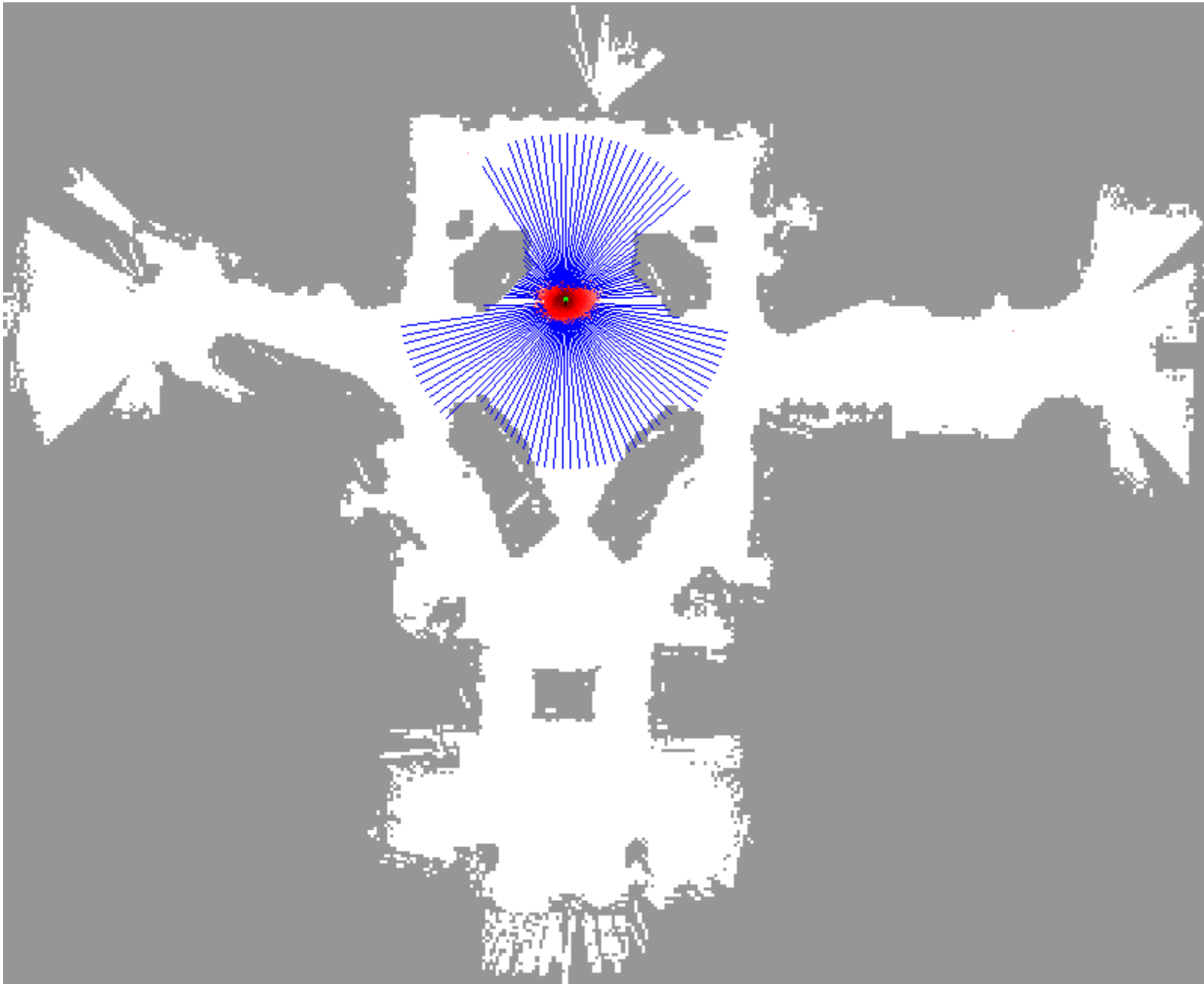


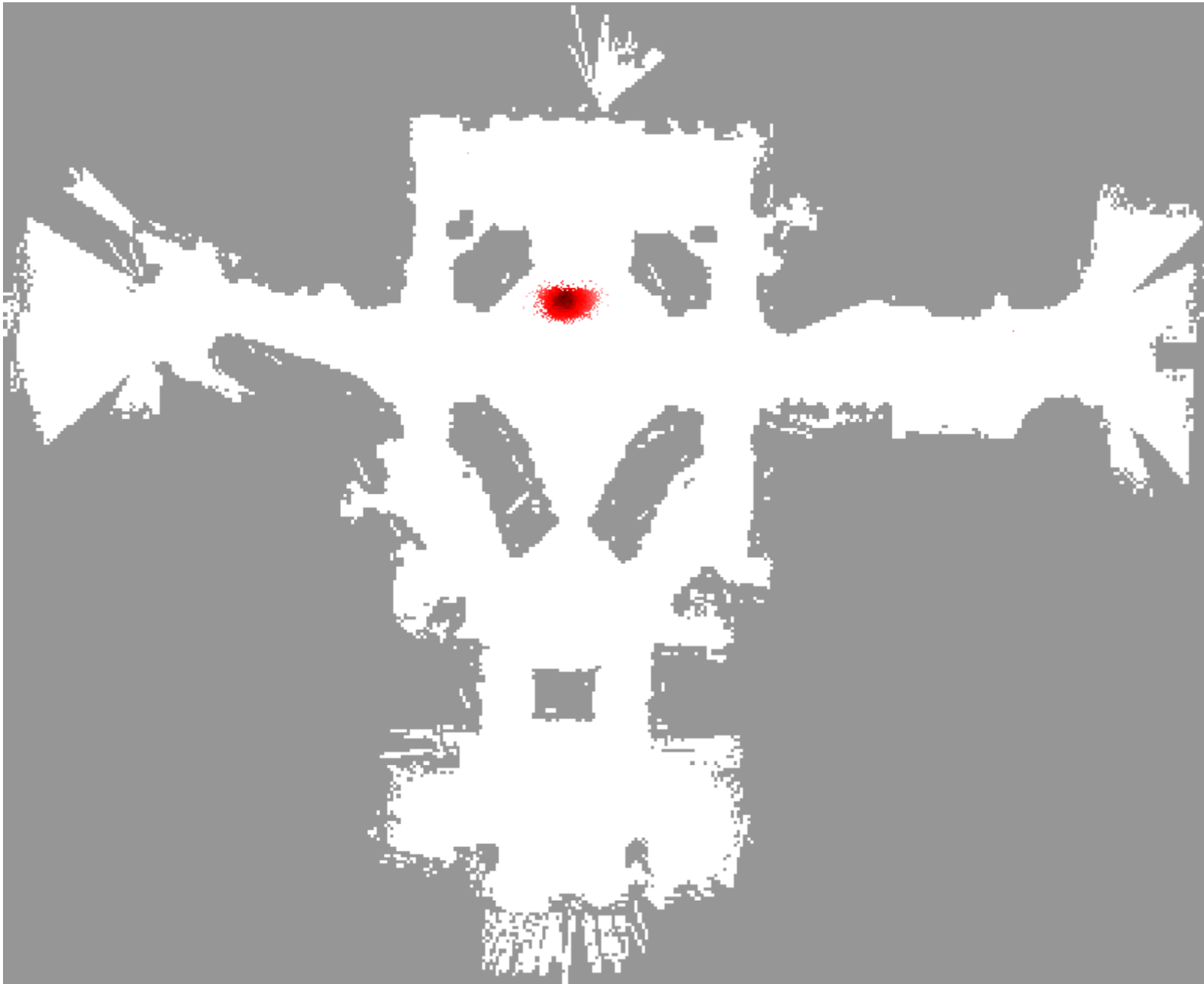


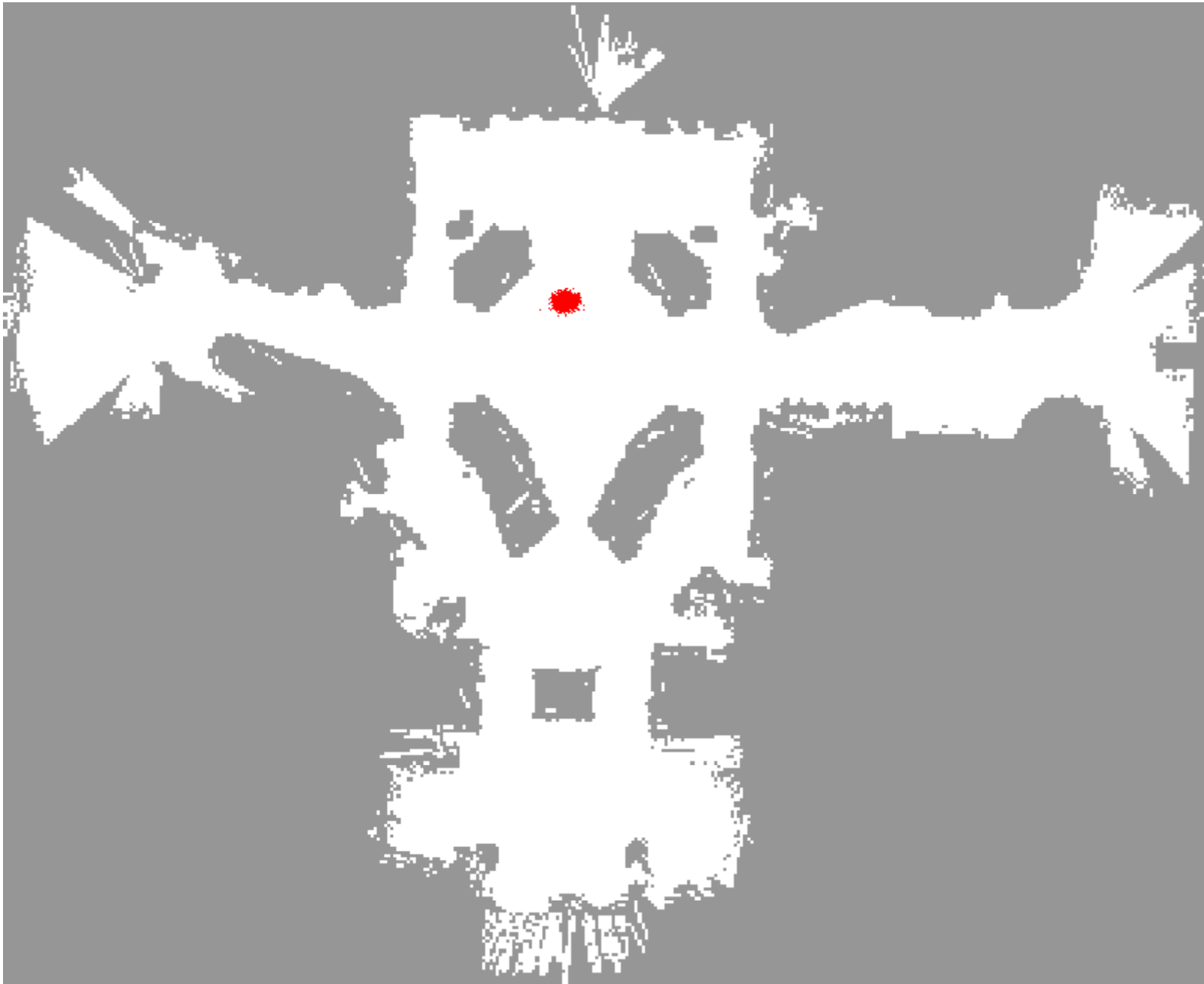


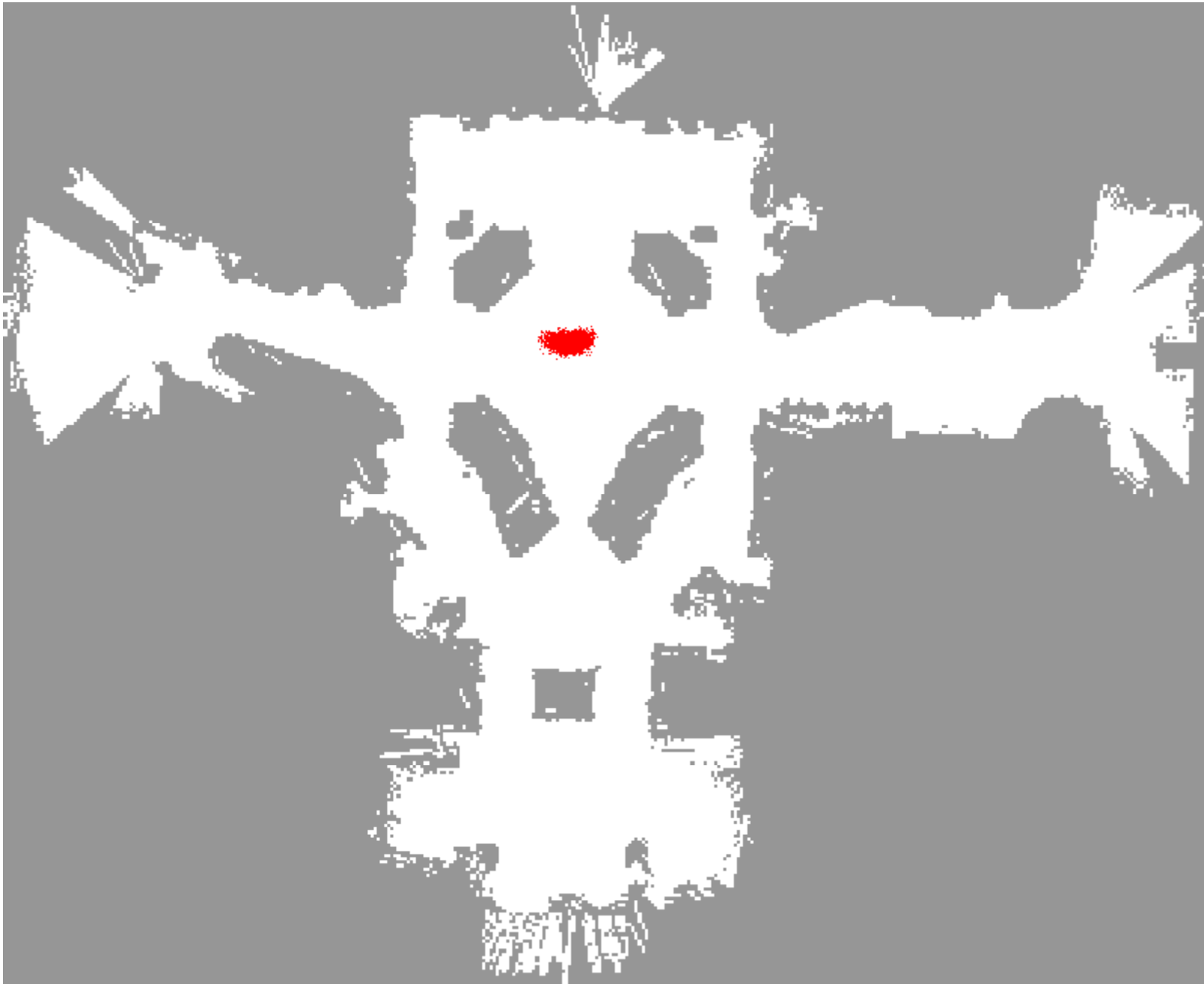


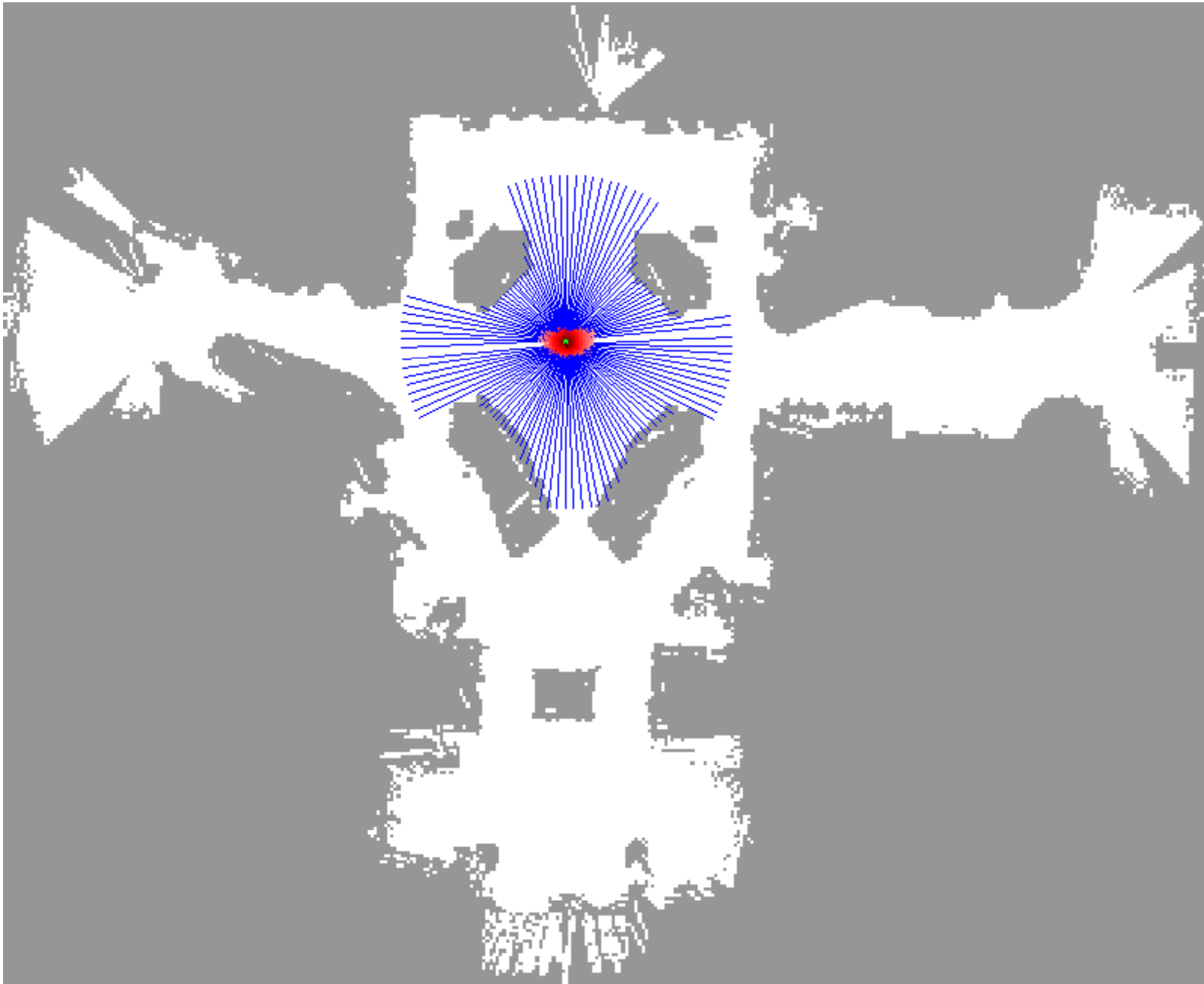


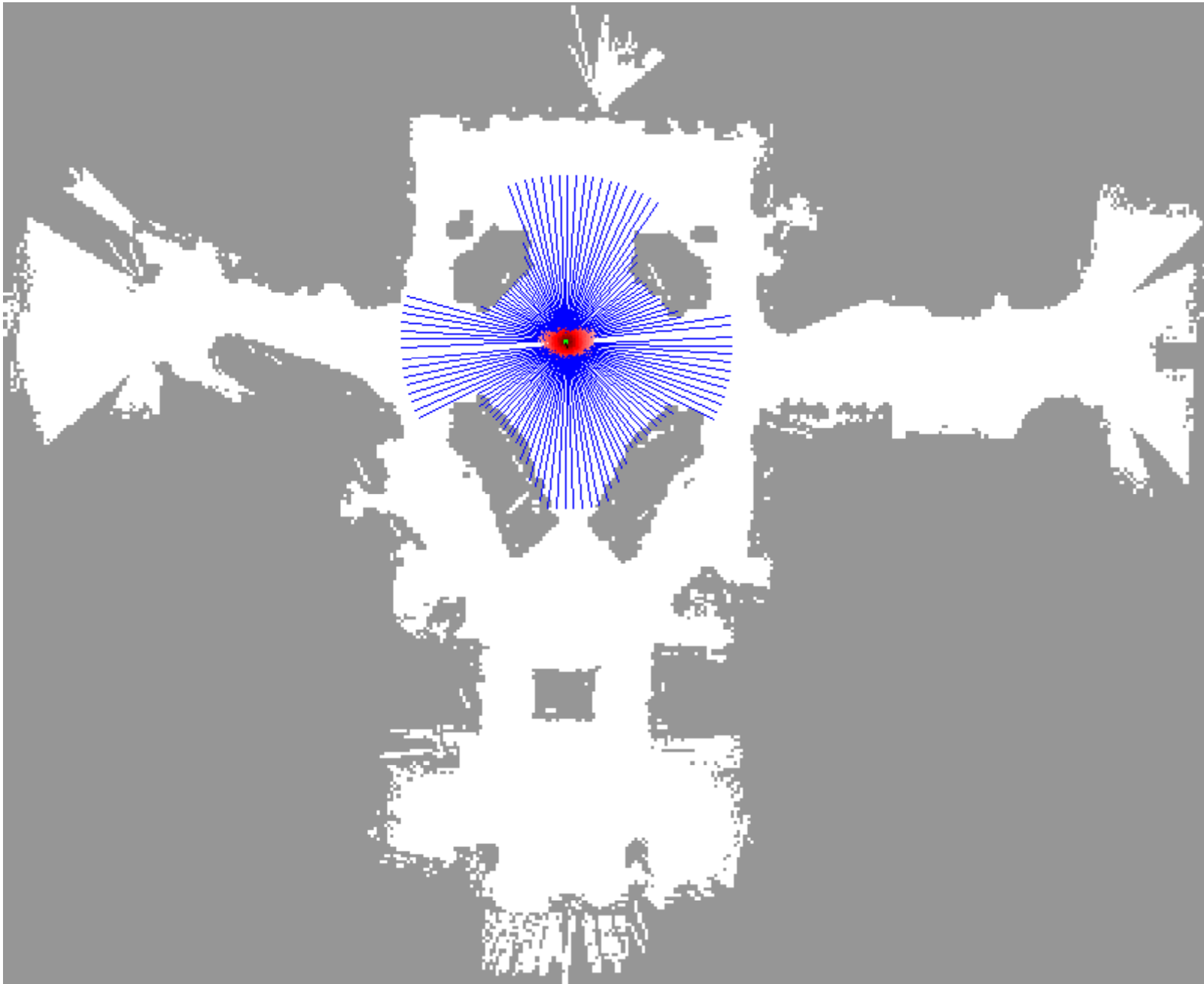




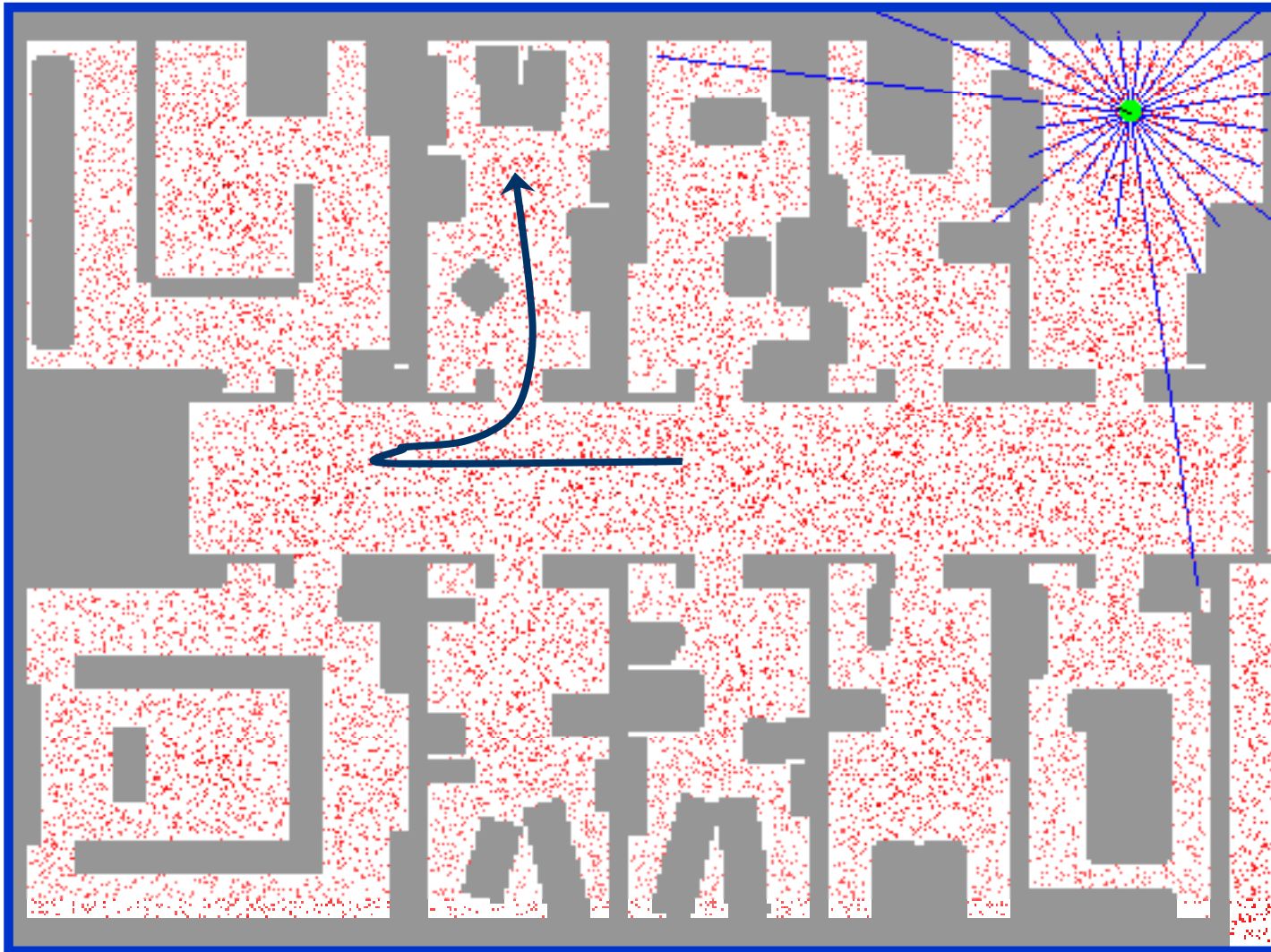




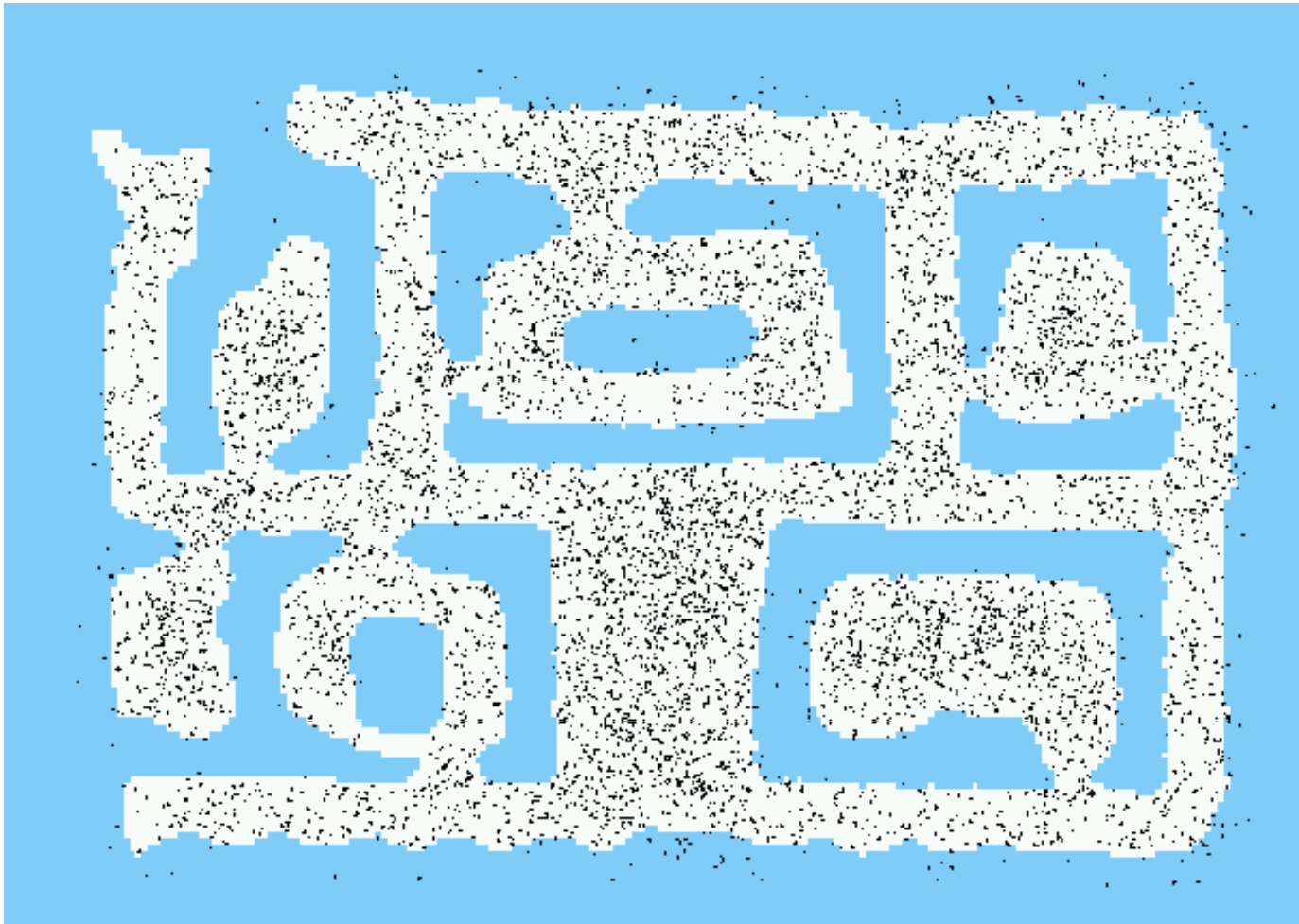




# Localizzazione Sample-based (sonar)

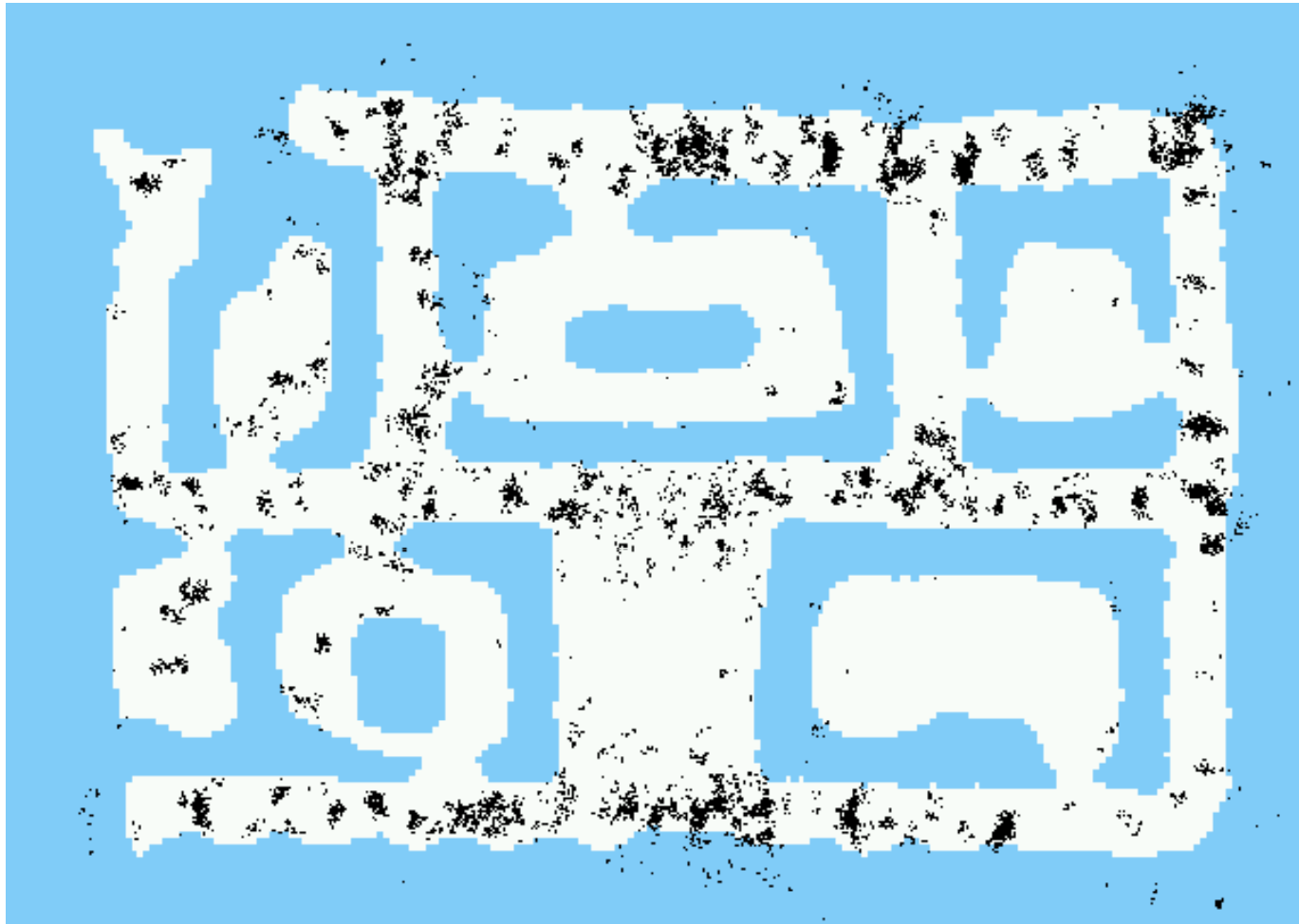


# Initial Distribution





# After Incorporating Ten Ultrasound Scans

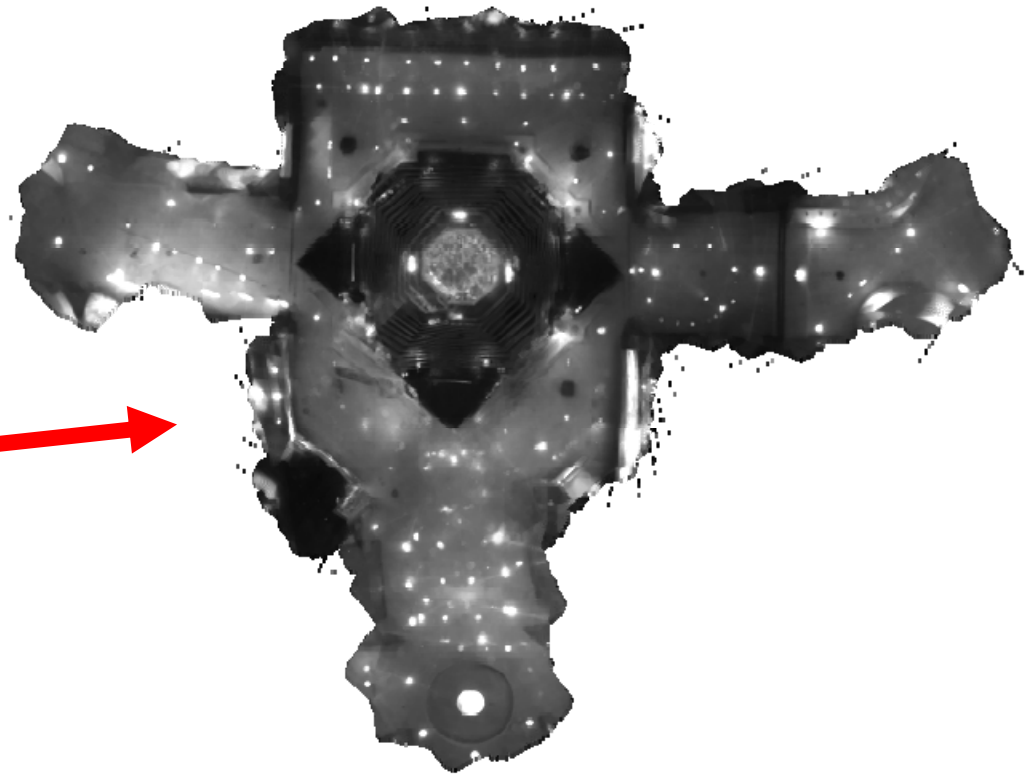


# After Incorporating 65 Ultrasound Scans





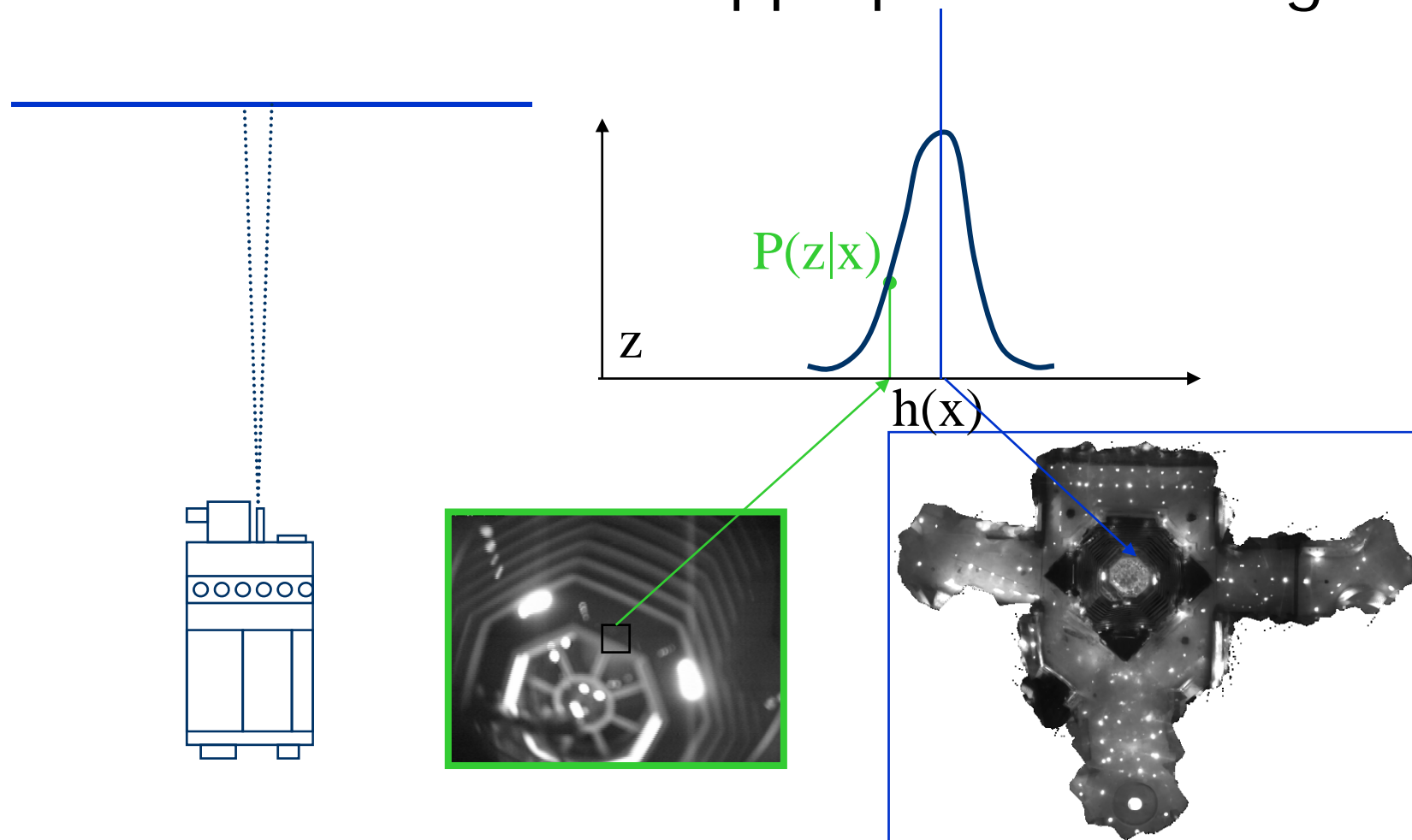
# Mappe dei Soffitti per la Localizzazione Vision-based



Mappa di likelihood

# Localizzazione Vision-based

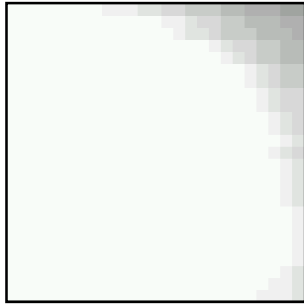
Modello del sensore mappa posa a immagine



Misura luminosità

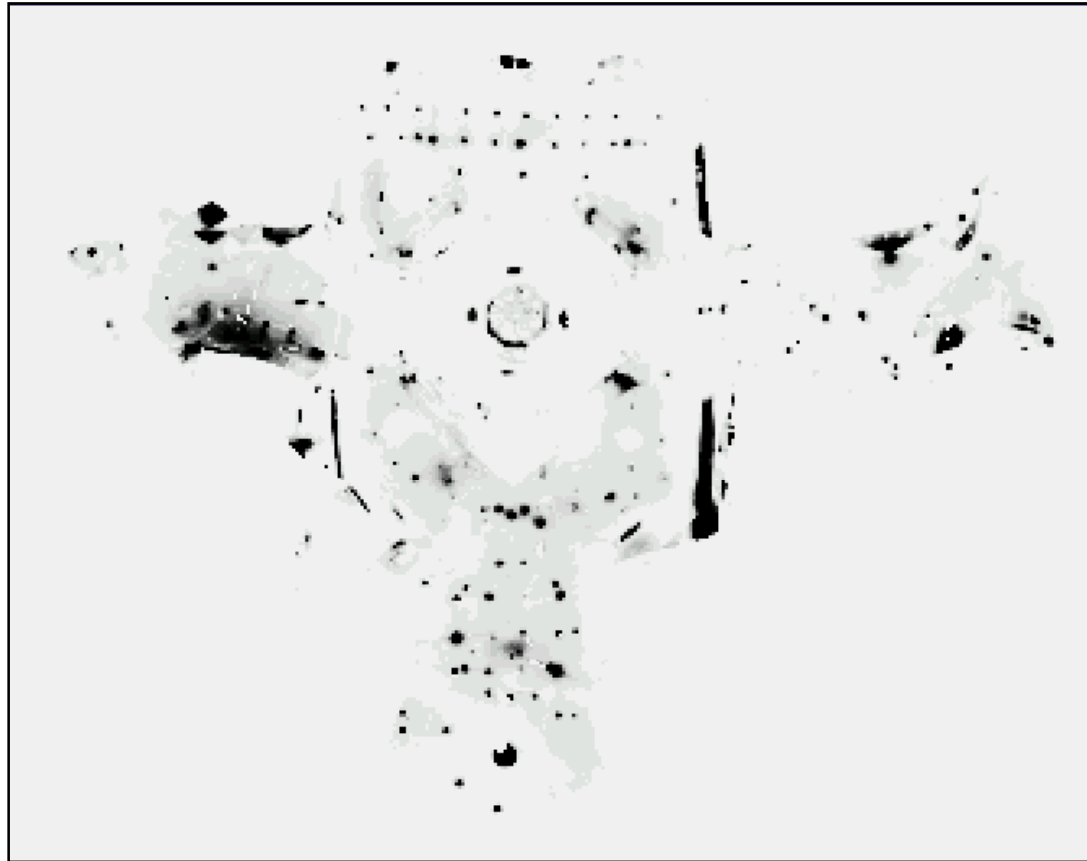
# Sotto una luce

Measurement  $z$ :



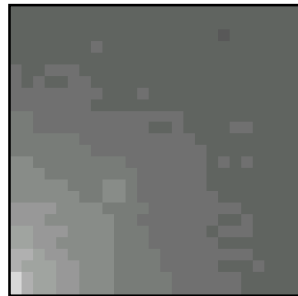
$P(z/x)$ :

Mappa di likelihood per  
luminosità intensa



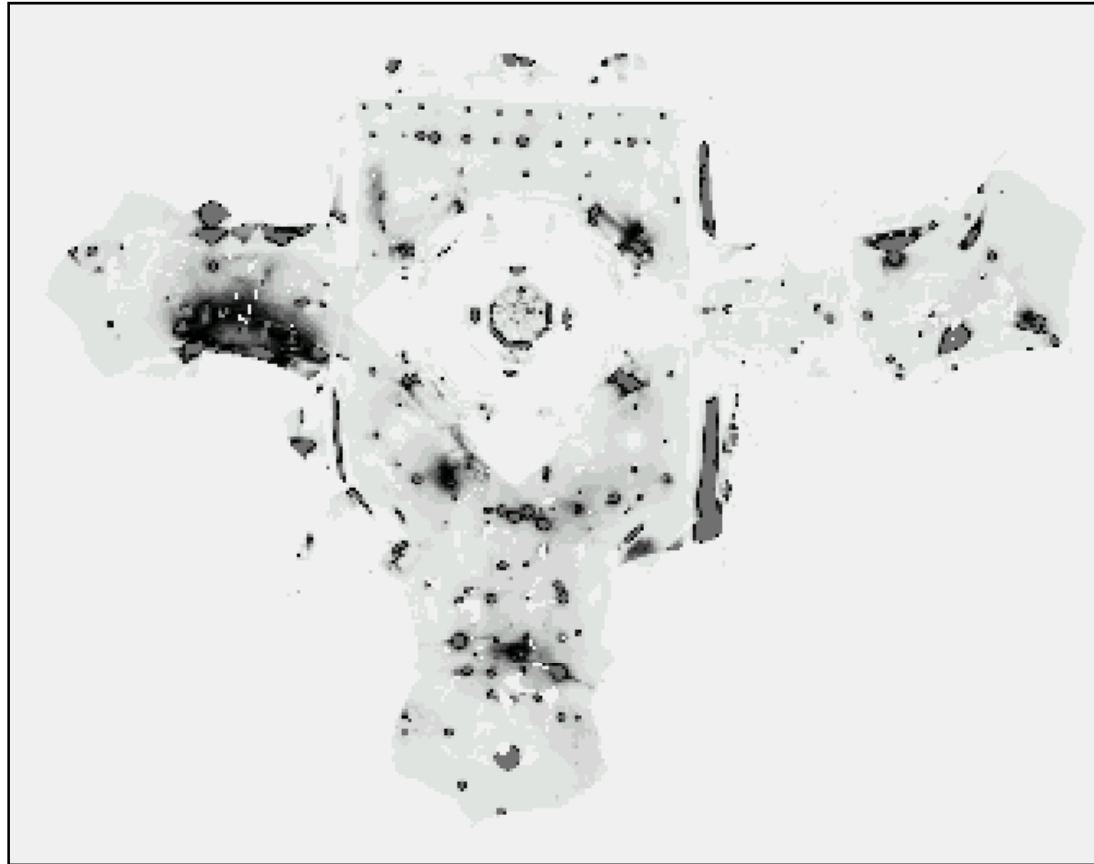
# Vicino ad una luce

**Measurement  $z$ :**



**$P(z/x)$ :**

Mappa di likelihood per  
luminosità meno intensa



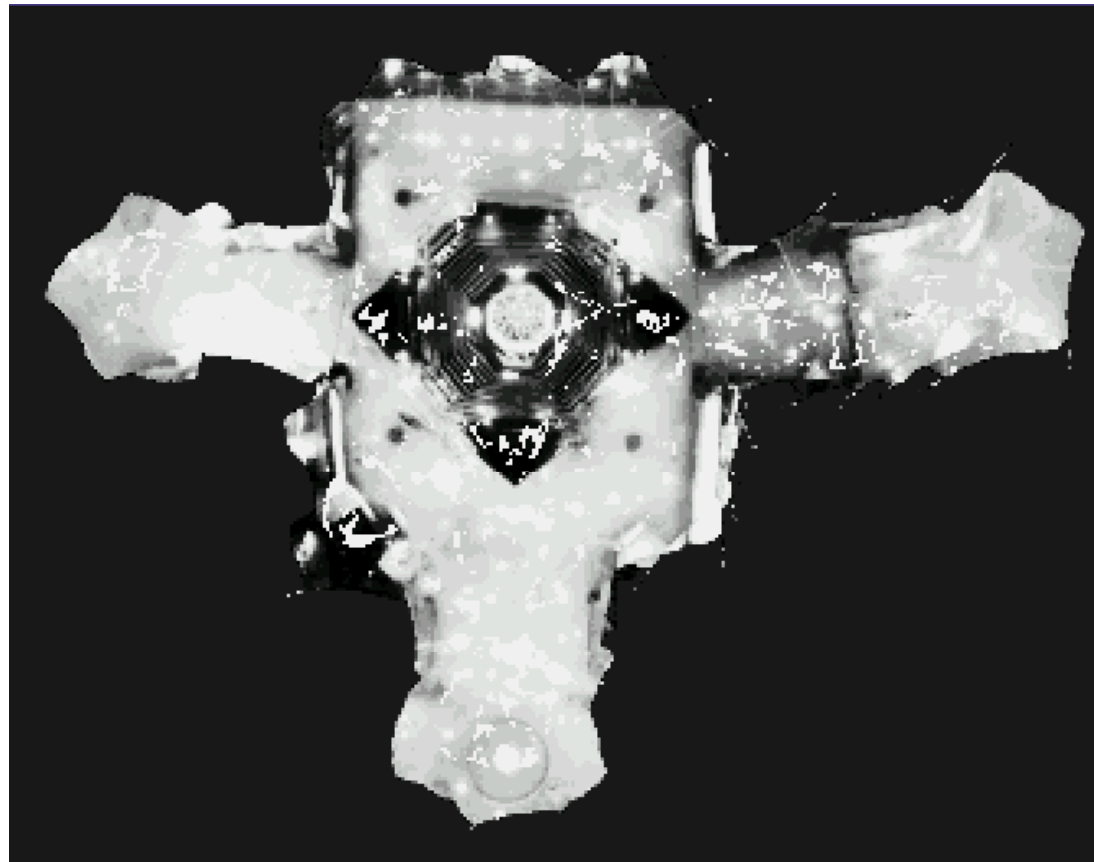
# Non sotto una luce

Measurement  $z$ :



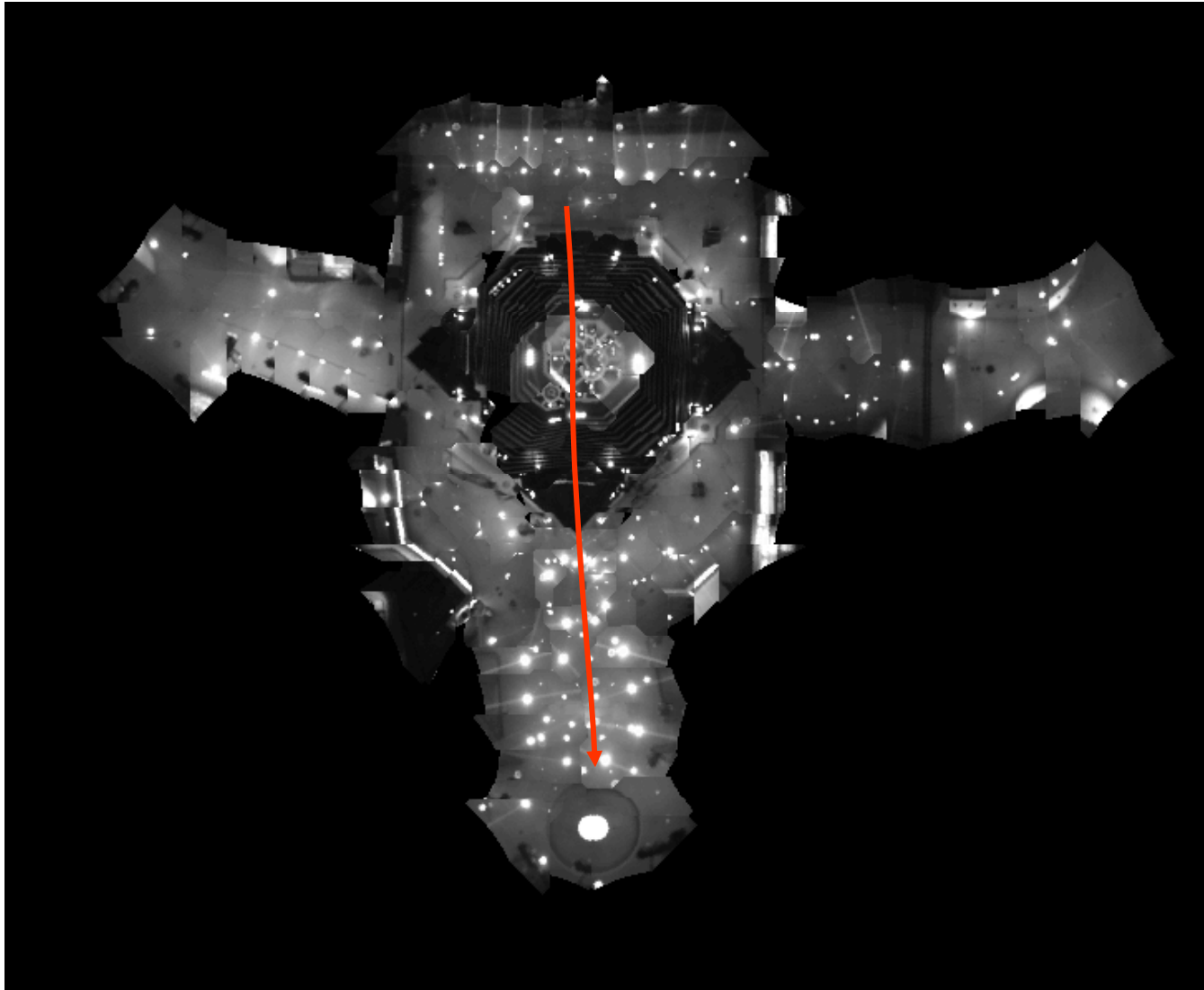
$P(z/x)$ :

Mappa di likelihood per  
poca luminosità





# Localizzazione Globale



# Robots in Action: Albert



# Application: Rhino and Albert Synchronized in Munich and Bonn

